

Компьютерная графика

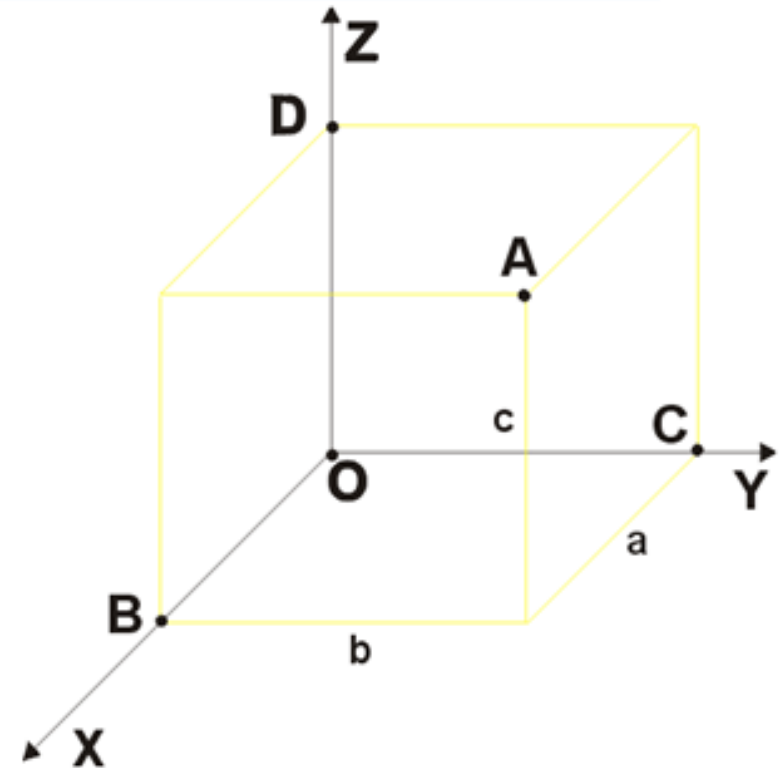
Курс лекций

Тема №3. Математические основы
компьютерной графики.

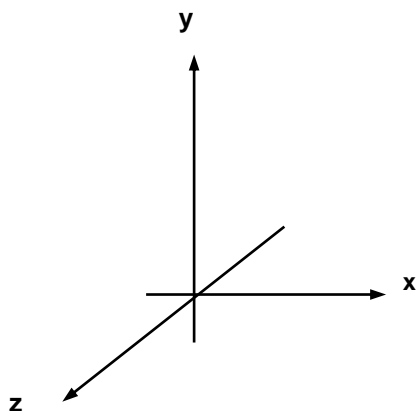
Прямоугольная декартова система координат

Прямоугольная система координат в пространстве образуется тремя взаимно перпендикулярными осями координат OX — ось абсцисс, OY — ось ординат, OZ — ось аппликат.

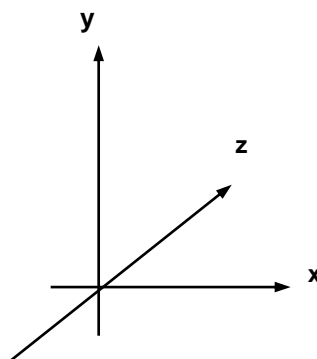
Прямоугольная система координат описывается набором ортов, сонаправленных с осями координат. В трёхмерном случае такие орты обычно обозначаются \mathbf{i} \mathbf{j} \mathbf{k} или \mathbf{e}_x \mathbf{e}_y \mathbf{e}_z .



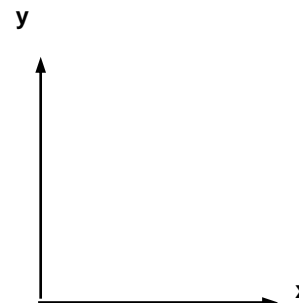
Прямоугольные системы координат



а) правосторонняя система



б) левосторонняя система



в) оконная система

Координатный фрейм в трехмерном пространстве: точка начала отсчета и тройка линейно-независимых (как правило, взаимно перпендикулярных) единичных векторов

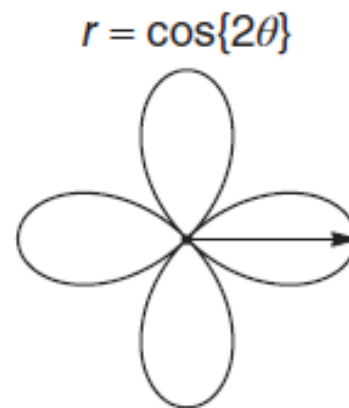
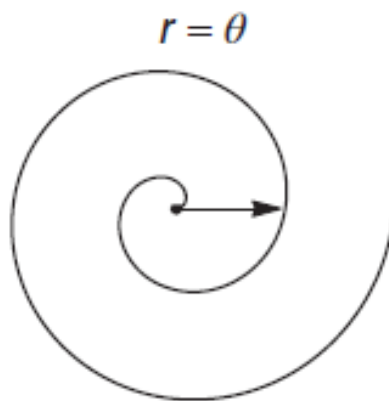
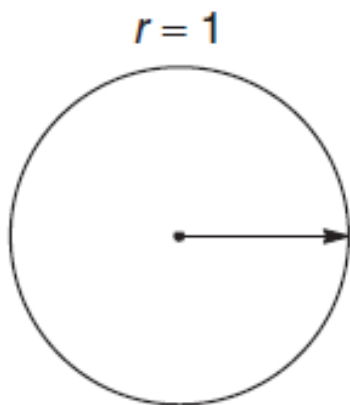
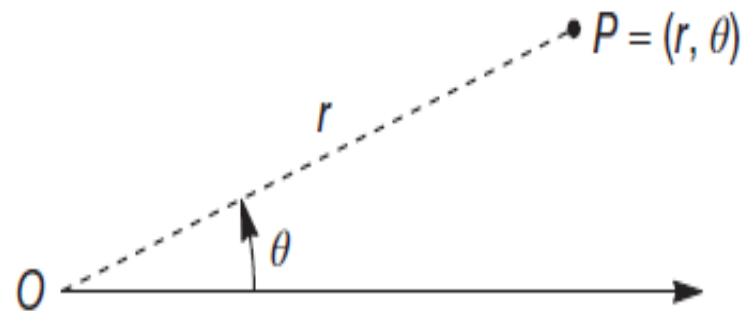
Полярная система координат

$$x = r \cos \theta$$

$$y = r \sin \theta$$

$$r = \sqrt{x^2 + y^2}$$

$$\theta = \tan^{-1} y/x$$



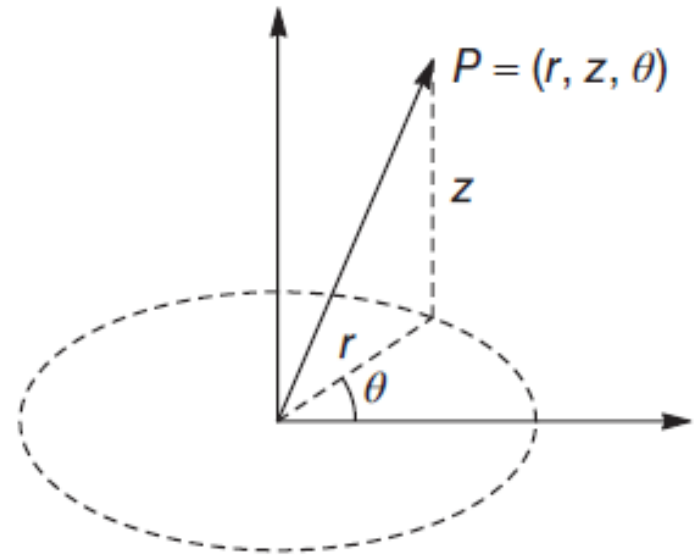
Цилиндрическая система координат

$$x = r \cos \theta$$

$$y = r \sin \theta$$

$$r = \sqrt{x^2 + y^2}$$

$$\theta = \tan^{-1} y/x$$



Сферическая система координат

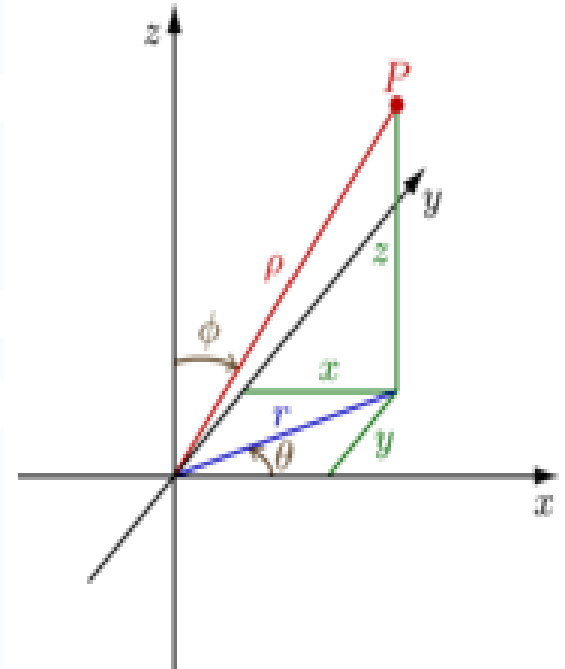
Сферические координаты - тройка (ρ, φ, θ) , где
 ρ — расстояние до зафиксированной точки,
 θ и φ азимутальный и зенитный угол соответственно.

Закон преобразования координат от сферических к декартовым:

$$\begin{aligned}x &= \rho \sin \varphi \cos \theta, \\y &= \rho \sin \varphi \sin \theta, \\z &= \rho \cos \varphi.\end{aligned}$$

Закон преобразования декартовых координат к сферическим:

$$\begin{aligned}\rho &= \sqrt{x^2 + y^2 + z^2}, \\ \varphi &= \arccos \left(\frac{z}{\sqrt{x^2 + y^2 + z^2}} \right), \\ \theta &= \operatorname{arctg} \left(\frac{y}{x} \right).\end{aligned}$$



Барицентрические координаты

- **Барицентрические координаты** — скалярные параметры, набор которых однозначно задаёт точку аффинного пространства
- точечный базис в n -мерном аффинном пространстве представляет собой систему из $(n+1)$ -й точки, которые предполагаются аффинно независимыми

$$P = \sum_{i=1}^n \alpha_i P_i$$

$$\sum_{i=1}^n \alpha_i = 1$$

Векторное пространство

- определено понятие вектора;
- определены операции:
 - сложения векторов;
 - умножения вектора на скаляр;
- операции удовлетворяют аксиомам векторного (линейного) пространства:
 - коммутативность сложения;
 - ассоциативность сложения;
 - существование нейтрального элемента относительно сложения;
 - существование противоположного элемента относительно сложения;
 - ассоциативность умножения на скаляр;
 - унитарность: умножение на нейтральный (по умножению) элемент сохраняет вектор;
 - дистрибутивность умножения на вектор относительно сложения скаляров;
 - дистрибутивность умножения на скаляр относительно сложения векторов.

$$\vec{v} + \vec{w} = \vec{w} + \vec{v}$$

$$(\vec{u} + \vec{v}) + \vec{w} = \vec{u} + (\vec{v} + \vec{w})$$

$$\vec{v} + \vec{0} = \vec{v}$$

$$\vec{v} + (-\vec{v}) = \vec{0}$$

$$(\alpha\beta)\vec{v} = \alpha(\beta\vec{v})$$

$$1 \cdot \vec{v} = \vec{v}$$

$$\alpha(\vec{v} + \vec{w}) = \alpha\vec{v} + \alpha\vec{w}$$

$$(\alpha + \beta)\vec{v} = \alpha\vec{v} + \beta\vec{v}$$

Линейная комбинация векторов

- **Линейной комбинацией** m векторов V_1, V_2, \dots, V_m называется вектор вида $\mathbf{W} = a_1 \mathbf{V}_1 + a_2 \mathbf{V}_2 + \dots + a_m \mathbf{V}_m$, где a_1, a_2, \dots, a_m — скаляры.
- Линейная комбинация называется **нетривиальной**, если хотя бы один из её коэффициентов отличен от нуля.
- Линейная комбинация векторов называется **аффинной (барицентрической) комбинацией** (affine combination), если сумма коэффициентов a_1, a_2, \dots, a_m равна единице.
- Линейная комбинация называется **сбалансированной**, сумма коэффициентов a_1, a_2, \dots, a_m равна нулю.
- Аффинная комбинация векторов называется **выпуклой**, если все коэффициенты данной комбинации неотрицательны.

Аффинное пространство

- определено понятие точки аффинного пространства и вектора соответствующего векторного пространства
- определена операция *сложения* точки и вектора, удовлетворяющая следующим аксиомам:
 - $(P + v) + w = P + (v + w)$
 - $P + o = P$
 - для любых двух точек P, Q существует единственный вектор v такой, что $Q = P + v$
- для аффинного пространства все точки являются равноправными (в частности, в нём не определено понятие *нулевой точки*, или *начала отсчёта*)

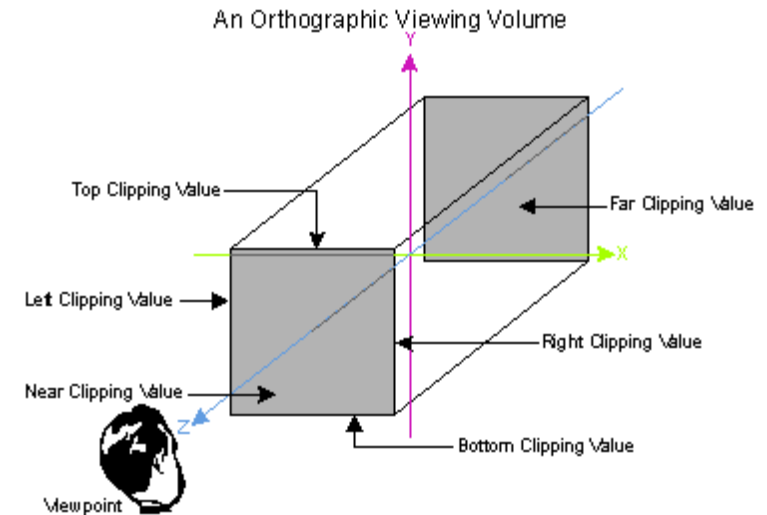
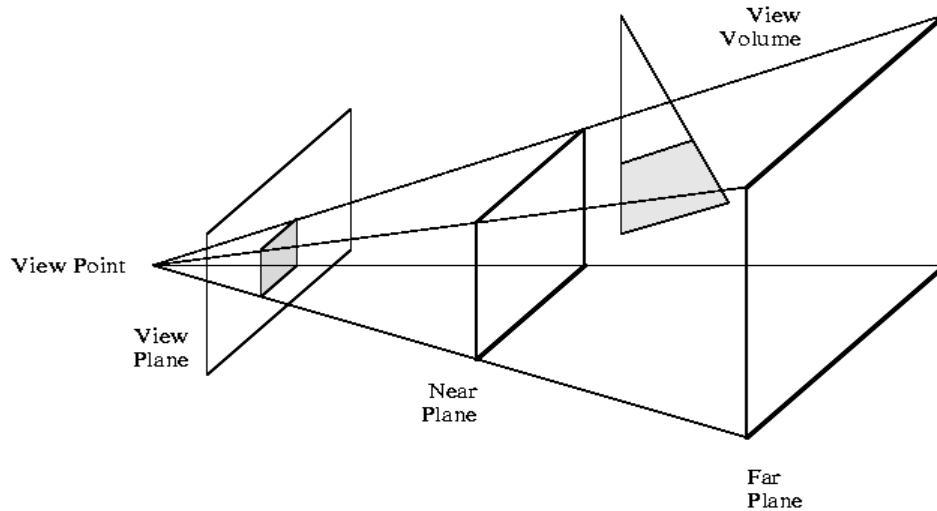
Линейная комбинация точек

- линейная комбинация точек аффинного пространства имеет смысл только в двух случаях:
 - барицентрическая (аффинная) комбинация: сумма коэффициентов равна единице (результат – точка);
 - сбалансированная комбинация: сумма коэффициентов равна нулю (результат – вектор);
- все коэффициенты аффинной комбинации неотрицательны, тогда и только тогда, когда точка лежит внутри выпуклой оболочки, построенной на точках, образующих аффинную комбинацию (на границе выпуклой оболочки всего два коэффициента ненулевые);

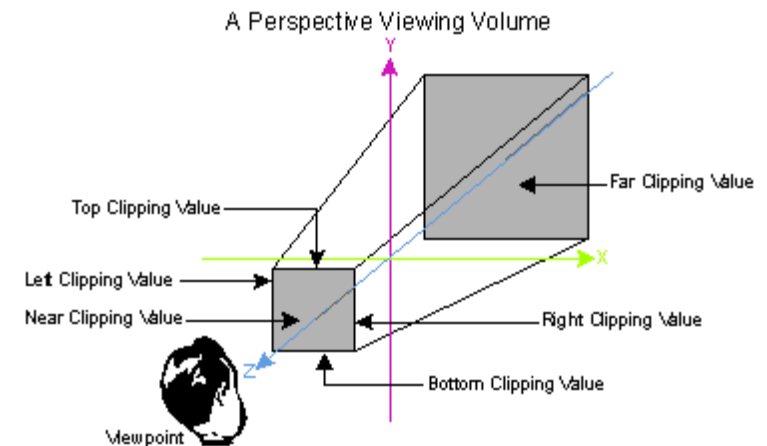
$$P = \sum_{i=1}^n \alpha_i P_i$$

$$\sum_{i=1}^n \alpha_i = 1$$

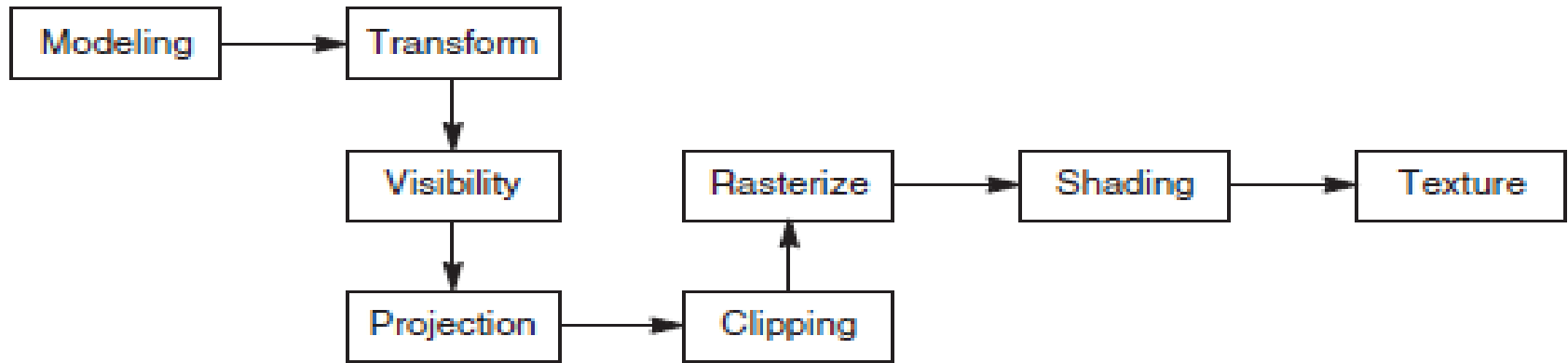
Формирование сцены и изображения



- положение и параметры объектов
- положение и атрибуты наблюдателя (камеры)
- положение и параметры источников света
- объем видимости, параметры проецирования и картинная плоскость

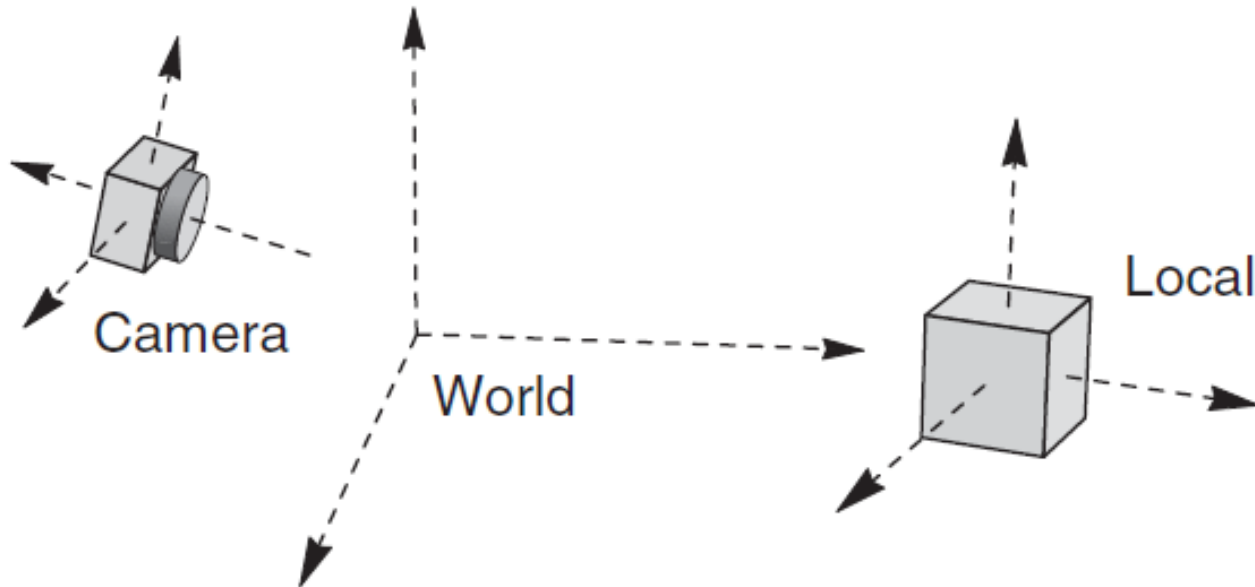


Графический конвейер



- отображение (rendering):
 - преобразования (transformation) – задание местоположения;
 - определение видимости (visibility) – область видимости (field of view) + нелицевые поверхности → отсечение (clipping);
 - проекция на картинную плоскость (projection);
 - растеризация (rasterization);
 - закрашка (shading);
 - текстурирование (texturing).

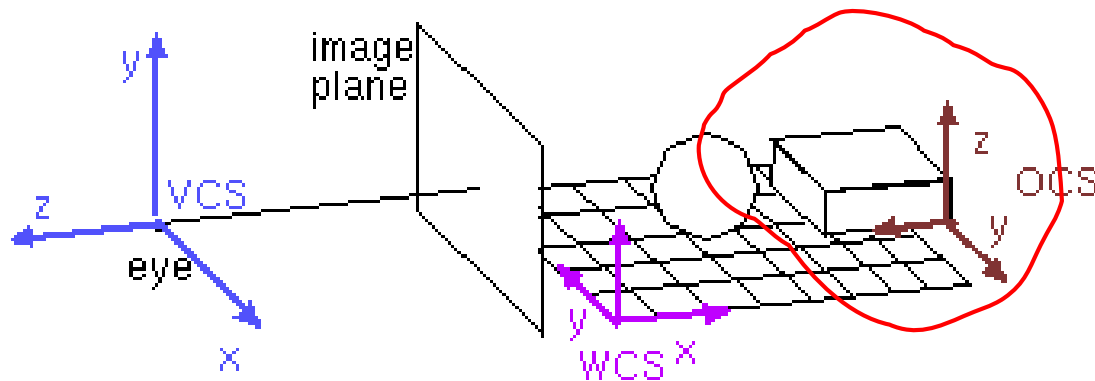
Преобразования координат: этап 1



- модельно-видовые преобразования (преобразование координат моделей отдельных объектов, заданных в локальных системах координат, к некоторой единой (мировой) системе координат и учет положения наблюдателя) → мировые координаты

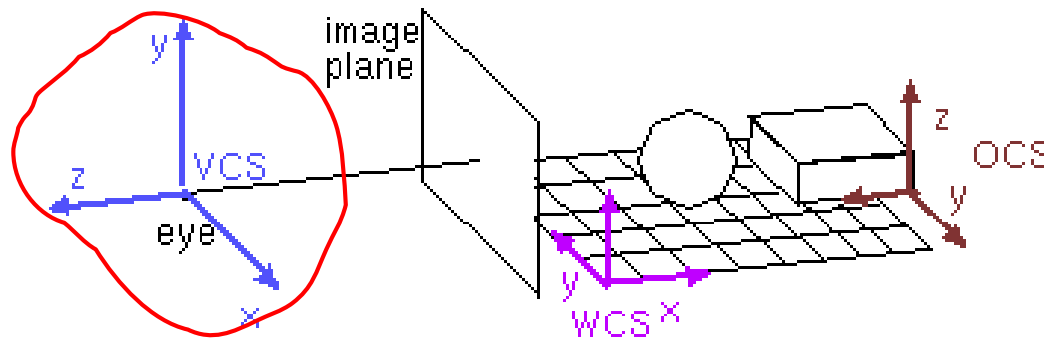
Модельное преобразование

- переводит модель, заданную в локальных (собственных) координатах, в глобальное (мировое пространство);
- сцена «собирается» из частей, с помощью модельных преобразований (обычно композиция переносов, поворотов, масштабирований);
- на выходе – модель в единых *мировых координатах*.

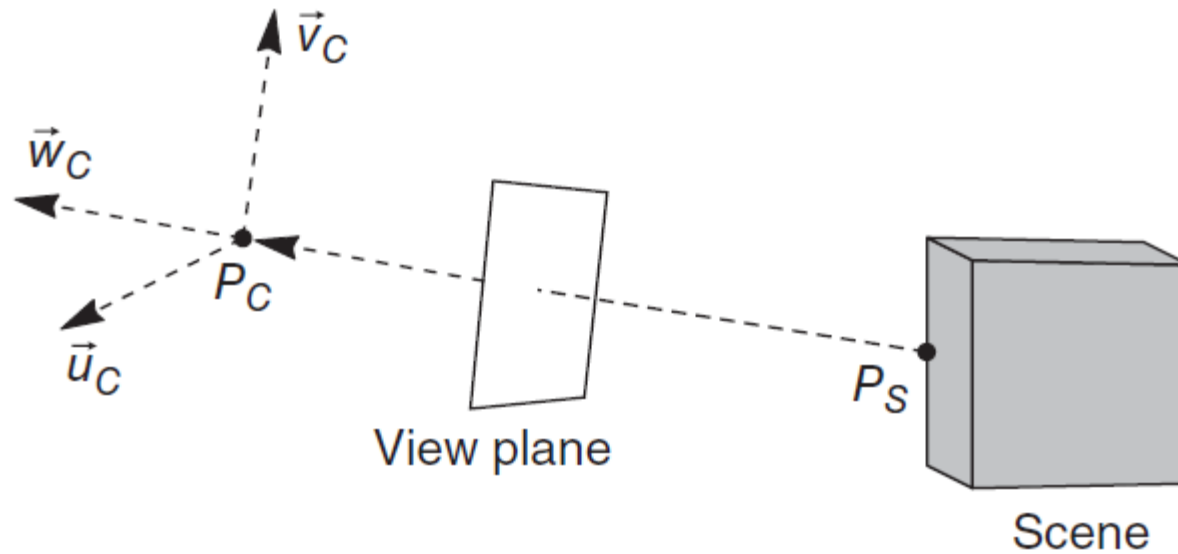


Виртуальная камера

- определяет положение наблюдателя в пространстве
- параметры:
 - положение (точка) наблюдения;
 - направление взгляда;
 - направление «вверх»;
 - параметры проекции;
- положение, направление взгляда и направление «вверх» задают видовое преобразование.



Система координат камеры



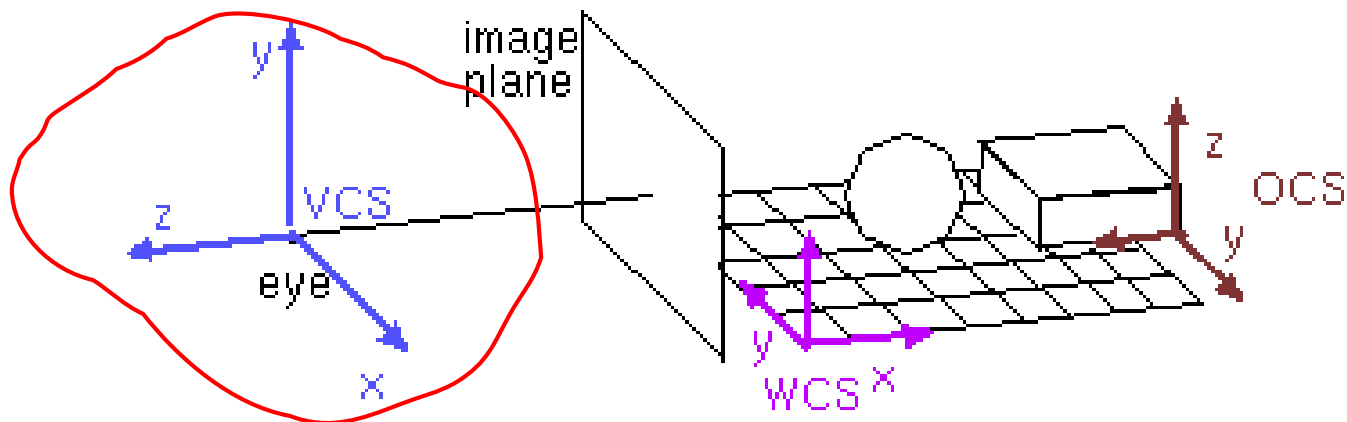
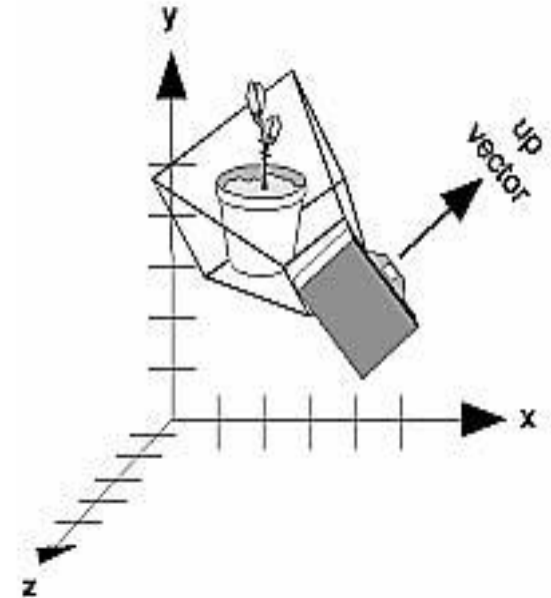
$$\vec{w}_c = \frac{\vec{n}}{|\vec{n}|}$$

$$\vec{u}_c = \frac{\vec{v} \times \vec{w}_c}{|\vec{v} \times \vec{w}_c|}$$

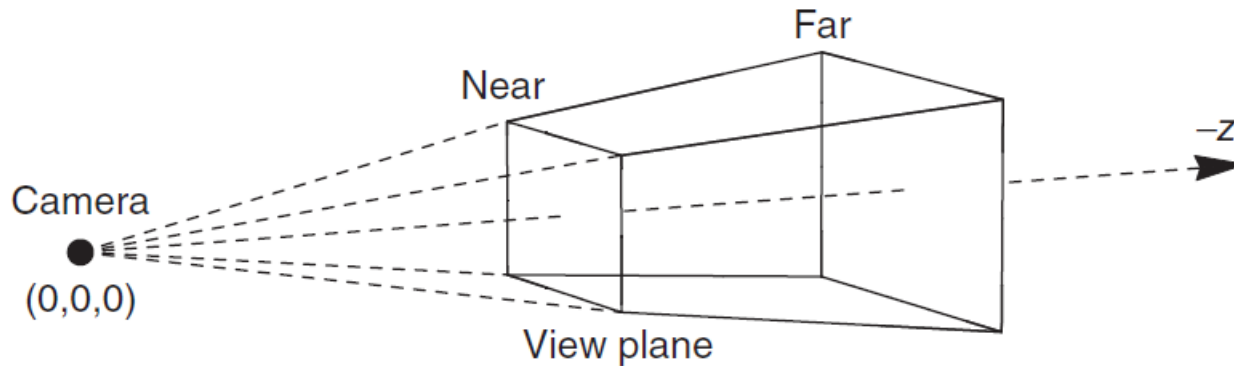
$$\vec{v}_c = \vec{w}_c \times \vec{u}_c$$

Видовое преобразование

- «подгоняет» мир под стандартную камеру, преобразует мировую систему координат в видовые координаты (которые подходят для «стандартной» камеры);
- на выходе – модель, готовая к проекции на экран.

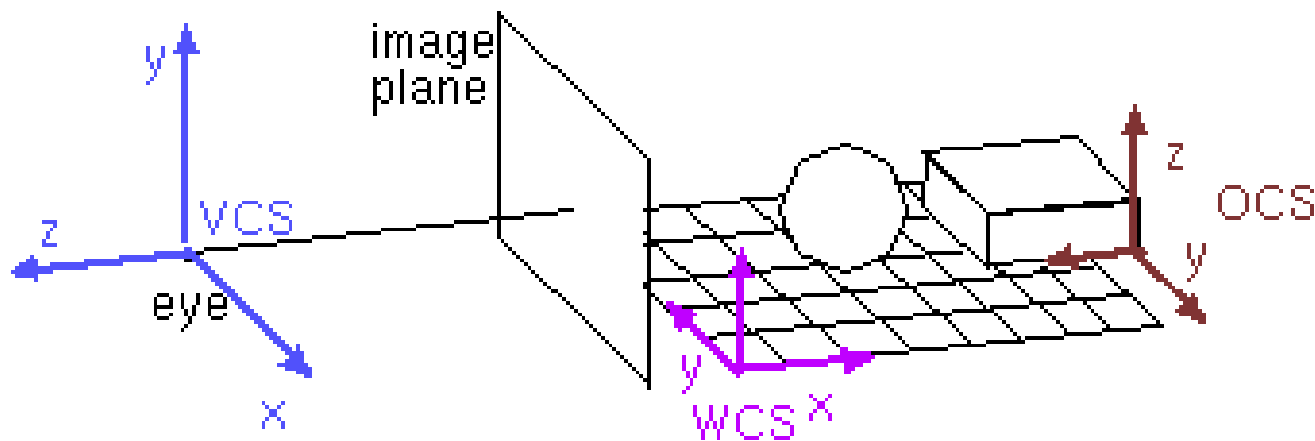


Преобразования координат: этап 2



- преобразования проецирования (в т.ч. отсечение по объему видимости) → усеченные координаты
- преобразование нормализации (приведение координат к некоторому predetermined интервалу, например, $[-1.0; 1.0]$) → нормализованные координаты
- преобразование к порту просмотра (преобразование рабочей станции - из аппаратно-независимой формы в координаты устройства) → оконные координаты

Преобразования координат (в графическом конвейере)



- локальные координаты → мировые координаты → усеченные координаты → нормализованные координаты → оконные координаты
- задачи:
 - определить набор базовых преобразований, достаточный для задания всех необходимых преобразований графического конвейера;
 - определить наиболее удобный способ их представления.



Базовые двумерные преобразования

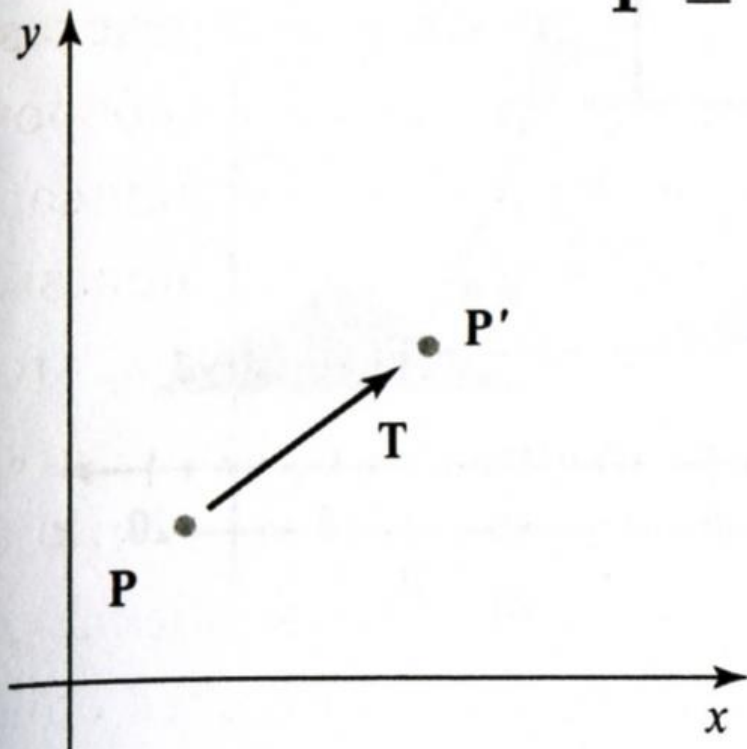
- двумерный перенос;
- двумерный поворот;
- двумерное масштабирование;
- двумерный сдвиг.

Двумерный перенос

$$x' = x + t_x, \quad y' = y + t_y.$$

$$\mathbf{P} = \begin{bmatrix} x \\ y \end{bmatrix}, \quad \mathbf{P}' = \begin{bmatrix} x' \\ y' \end{bmatrix}, \quad \mathbf{T} = \begin{bmatrix} t_x \\ t_y \end{bmatrix}.$$

$$\mathbf{P}' = \mathbf{P} + \mathbf{T}.$$



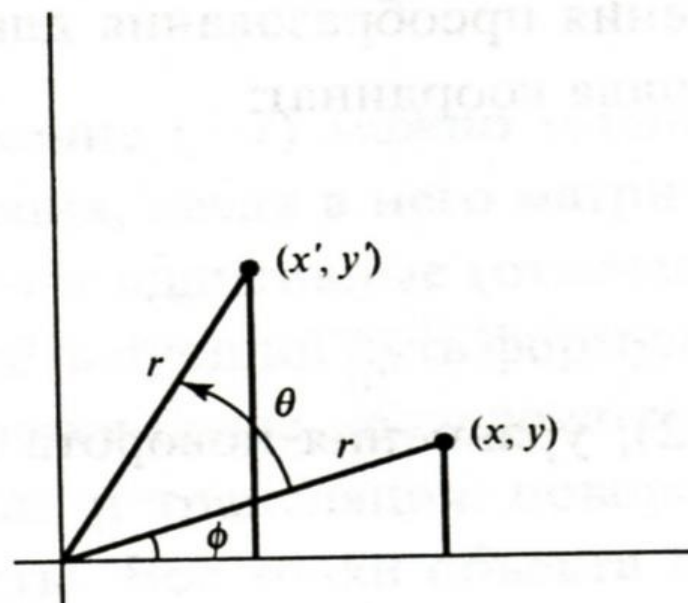
Двумерный поворот

$$x' = x \cos \theta - y \sin \theta;$$

$$y' = x \sin \theta + y \cos \theta.$$

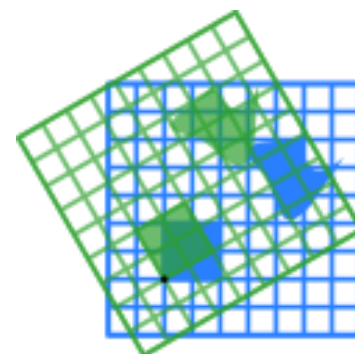
$$\mathbf{P}' = \mathbf{R} \cdot \mathbf{P},$$

$$\mathbf{R} = \begin{bmatrix} \cos \theta & -\sin \theta \\ \sin \theta & \cos \theta \end{bmatrix}.$$

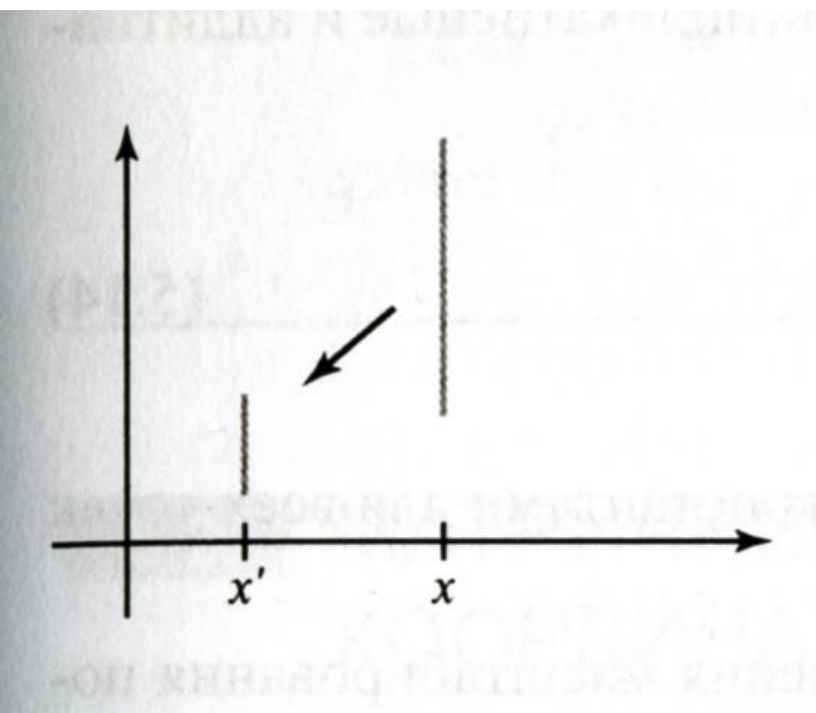


$$x' = x_r + (x - x_r) \cos \theta - (y - y_r) \sin \theta;$$

$$y' = y_r + (x - x_r) \sin \theta + (y - y_r) \cos \theta.$$



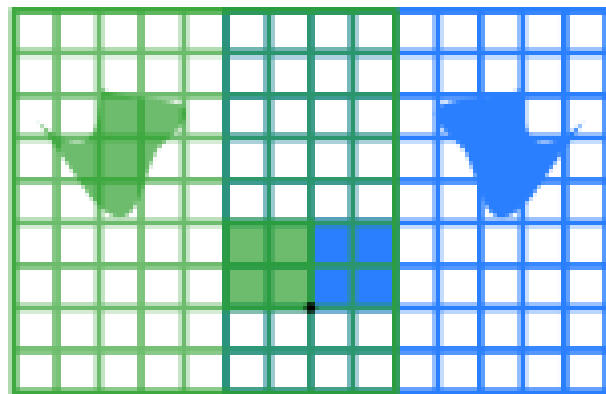
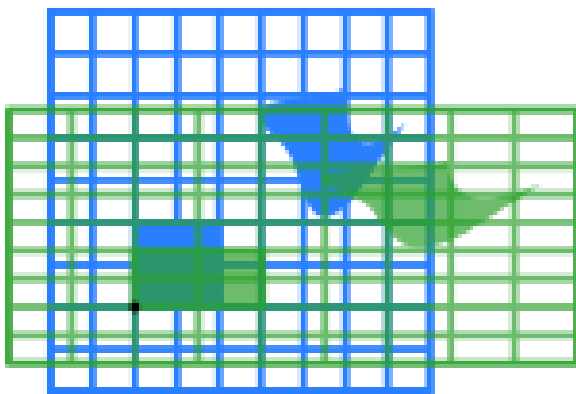
Двумерное масштабирование



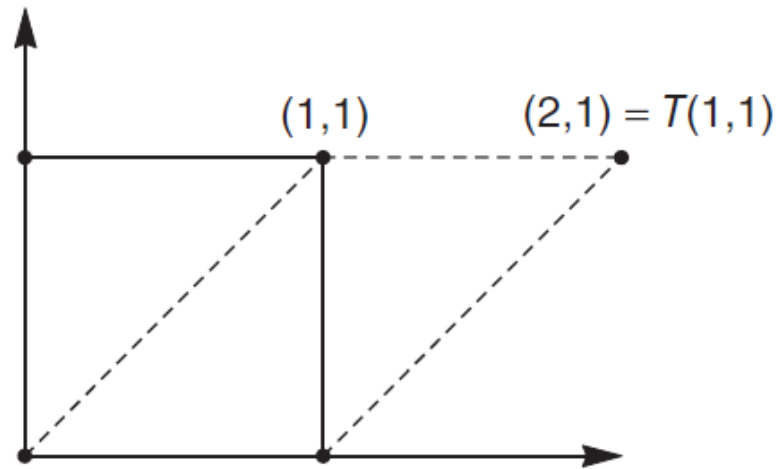
$$x' = x \cdot s_x, \quad y' = y \cdot s_y.$$

$$\begin{bmatrix} x' \\ y' \end{bmatrix} = \begin{bmatrix} s_x & 0 \\ 0 & s_y \end{bmatrix} \cdot \begin{bmatrix} x \\ y \end{bmatrix}$$

$$\mathbf{P}' = \mathbf{S} \cdot \mathbf{P},$$

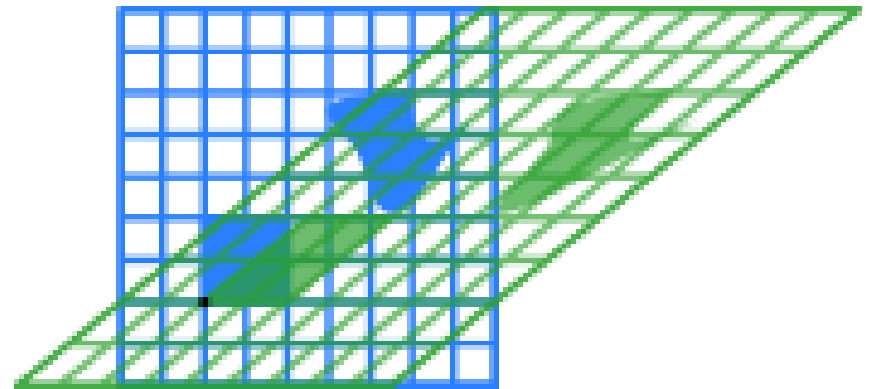


Двумерный сдвиг

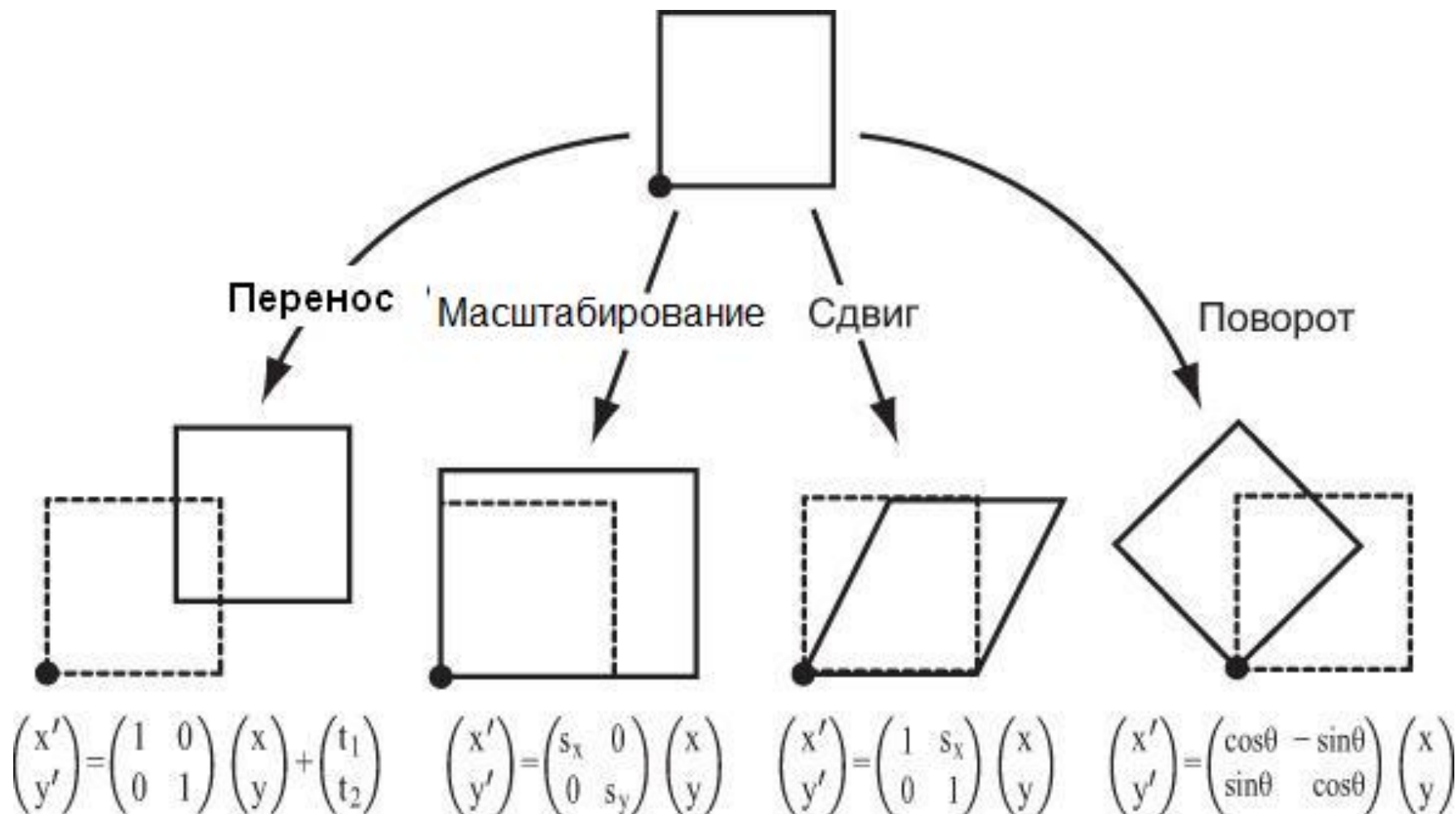


$$M = \begin{bmatrix} 1 & 1 \\ 0 & 1 \end{bmatrix}$$

$$\begin{pmatrix} x' \\ y' \end{pmatrix} = \begin{pmatrix} 1 & s_x \\ 0 & 1 \end{pmatrix} \begin{pmatrix} x \\ y \end{pmatrix}$$



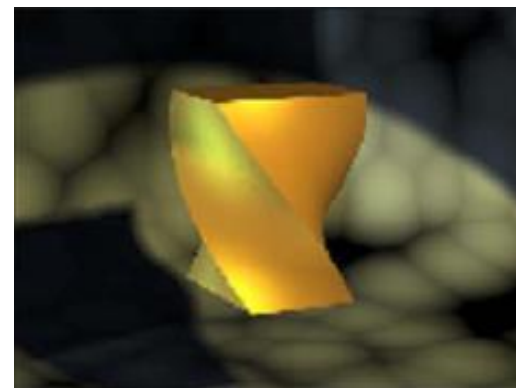
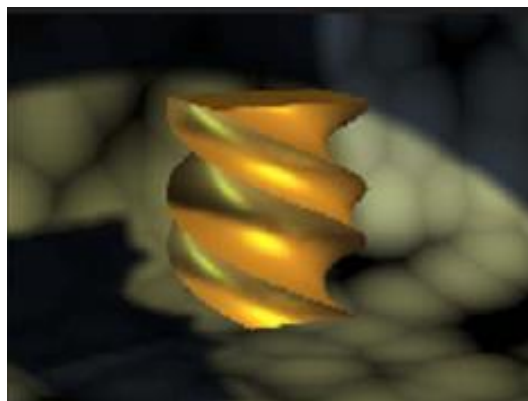
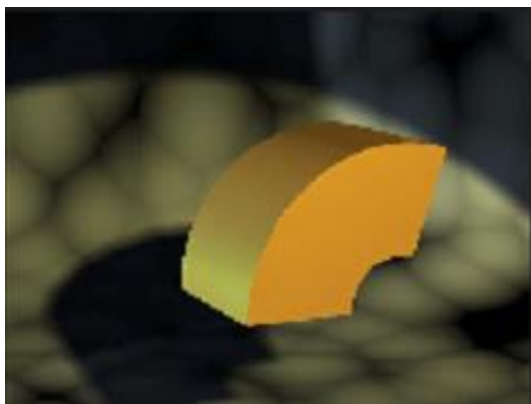
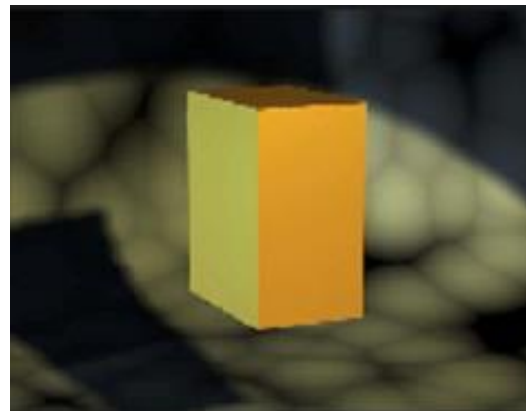
Двумерные преобразования



Нелинейные преобразования

- Произвольное преобразование точек модели

$$M' = T(M)$$



Линейные преобразования

- линейным преобразованием (линейным оператором, линейным отображением) векторного пространства является преобразование, удовлетворяющее свойству линейности:

$$T(\vec{v} + \vec{w}) = T(\vec{v}) + T(\vec{w})$$

$$T(a\vec{v}) = aT(\vec{v})$$

- линейное преобразование (линейный оператор) в некотором базисе задаётся с помощью матрицы, столбцы которой представляют собой преобразованные векторы данного базиса;
- (*) в данном случае рассматривается эндоморфизм.

Однородные координаты

Определение. Однородными координатами точки $P=(x_1, \dots, x_n), P \in R^n$ называются координаты $P_{hom}=(wx_1, wx_2, \dots, wx_n, w), P_{hom} \in R^{n+1}$, причем хотя бы один элемент должен быть отличен от нуля.

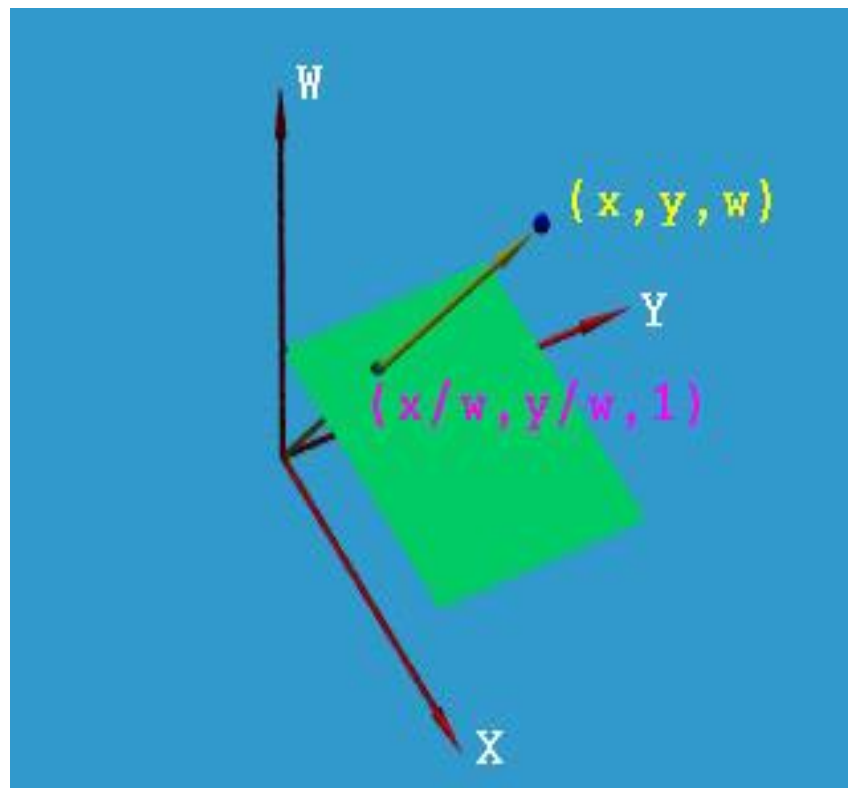
Представление вектора в
однородных координатах
(идеальная точка):

$$V = (v_1, v_2, v_3, 0)$$

Представление точки в
однородных координатах:

$$P=(p_1, p_2, p_3, 1)$$

→ проективное пространство



Матричное представление геометрических преобразований

- Координаты представляются вектором-столбцом
- Геометрическое преобразование задается матрицей, умножаемой справа на вектор-столбец координат

$$\mathbf{P}' = \mathbf{M} * \mathbf{P}$$

- Матрица композиции преобразований является произведением матриц элементарных преобразований (матрицы перемножаются в обратном порядке): операция является ассоциативной, но в общем случае некоммутативной

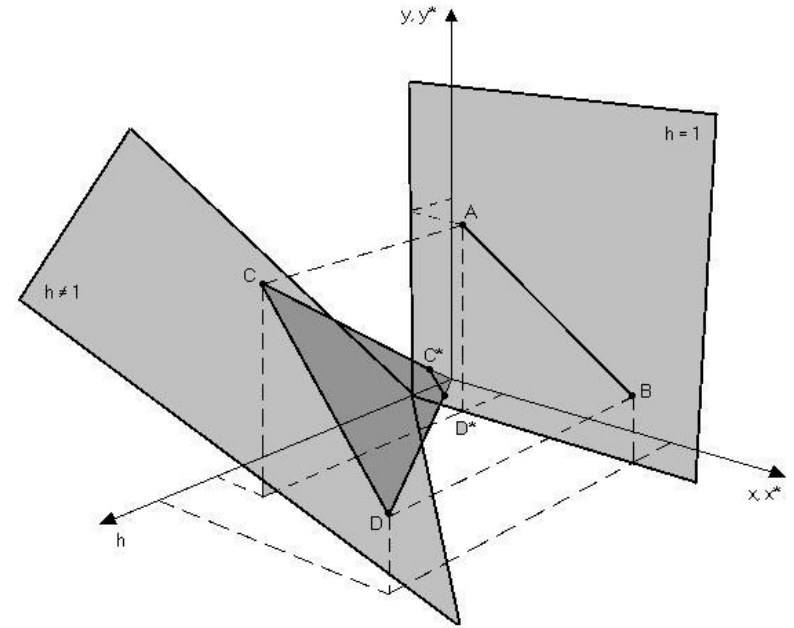
$$\mathbf{M} = \mathbf{M}_2 * \mathbf{M}_1$$

- Обратное преобразование задается обратной матрицей

$$\begin{pmatrix} x' \\ y' \\ z' \\ w' \end{pmatrix} = \begin{pmatrix} A & B & C & D \\ E & F & G & H \\ I & J & K & L \\ m & n & p & q \end{pmatrix} \cdot \begin{pmatrix} x \\ y \\ z \\ 1 \end{pmatrix}$$

Типичные линейные преобразования

- общие линейные преобразования
 - $w' \neq 1$ (проективные, необходимо «перспективное деление»)
 - прямые переходят в прямые
- аффинные преобразования
 - $w' = 1$
 - сохраняется параллельность линий
 - пример: сдвиг
- преобразование подобия
 - сохраняются углы
 - пример: равномерное масштабирование
- изометрия (движение)
 - сохраняются расстояния
 - пример: поворот, перенос



$$\begin{pmatrix} x' \\ y' \\ z' \\ w' \end{pmatrix} = \begin{pmatrix} A & B & C & D \\ E & F & G & H \\ I & J & K & L \\ m & n & p & q \end{pmatrix} \cdot \begin{pmatrix} x \\ y \\ z \\ 1 \end{pmatrix}$$

Аффинные преобразования

Отображение $f : \mathbb{R}^n \rightarrow \mathbb{R}^n$ есть **аффинное преобразование**, если найдётся обратимая матрица M и вектор $v \in \mathbb{R}^n$ такие, что

$$f(x) = M \cdot x + v.$$

- прямая переходит в прямую, плоскость – в плоскость;
- сохраняется параллельность прямых и плоскостей;
- конечные (истинные) точки отображаются в конечные;
- сохраняются относительные пропорции;
- сохраняются аффинные комбинации точек.

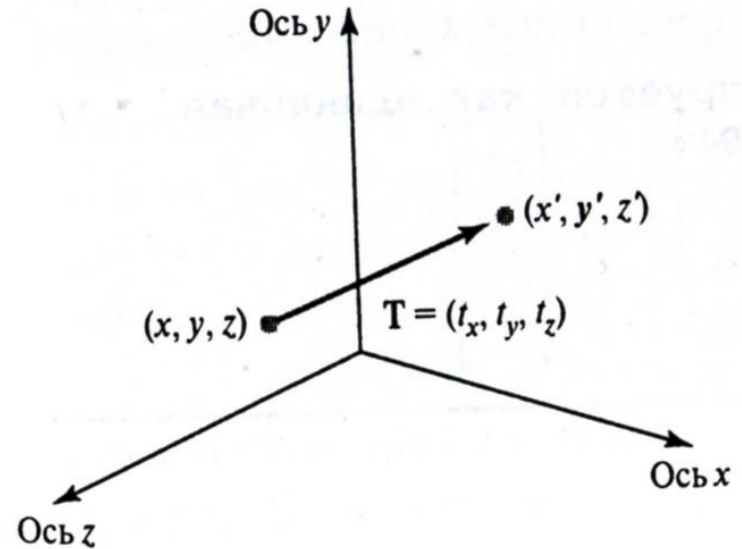
$$\begin{pmatrix} x' \\ y' \\ z' \end{pmatrix} = \begin{pmatrix} A & B & C & D \\ E & F & G & H \\ I & J & K & L \\ 0 & 0 & 0 & 1 \end{pmatrix} \cdot \begin{pmatrix} x \\ y \\ z \\ 1 \end{pmatrix}$$

Трёхмерный перенос

$$x' = x + \Delta x$$

$$y' = y + \Delta y$$

$$z' = z + \Delta z$$



$$\begin{pmatrix} x' \\ y' \\ z' \end{pmatrix} = \begin{pmatrix} 1 & 0 & 0 & \Delta x \\ 0 & 1 & 0 & \Delta y \\ 0 & 0 & 1 & \Delta z \\ 0 & 0 & 0 & 1 \end{pmatrix} \cdot \begin{pmatrix} x \\ y \\ z \\ 1 \end{pmatrix}$$

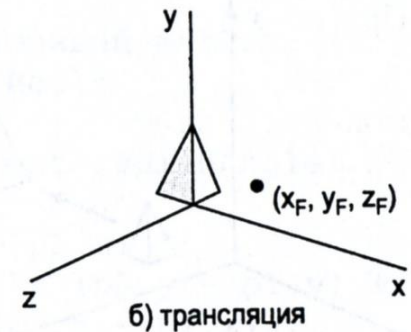
Трёхмерное масштабирование

$$x' = ax$$

$$y' = by$$

$$z' = cz$$

$$\begin{pmatrix} x' \\ y' \\ z' \end{pmatrix} = \begin{pmatrix} a & 0 & 0 & 0 \\ 0 & b & 0 & 0 \\ 0 & 0 & c & 0 \\ 0 & 0 & 0 & 1 \end{pmatrix} \cdot \begin{pmatrix} x \\ y \\ z \\ 1 \end{pmatrix}$$



частные случаи:

- равномерное (пропорциональное) масштабирование;
- отражение от координатной плоскости

Отражение от произвольной плоскости

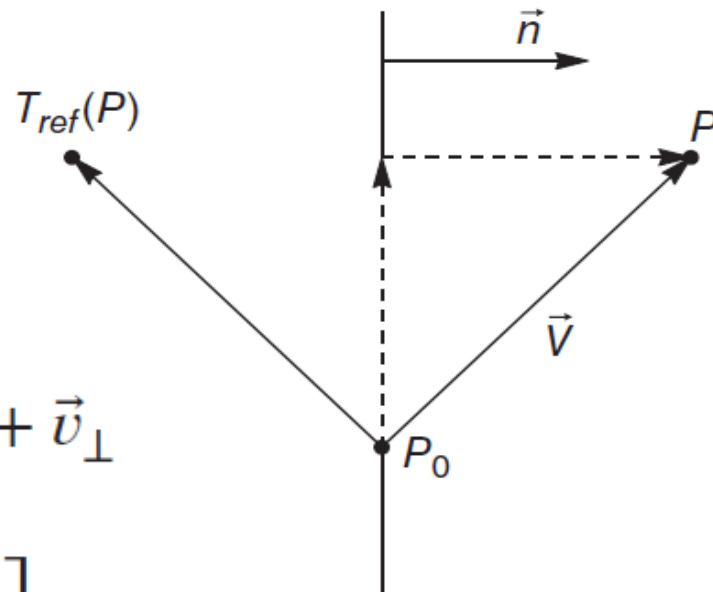
$$\vec{v} = \vec{v}_{\parallel} + \vec{v}_{\perp}$$

$$\vec{v}_{\parallel} = (\vec{v} \cdot \vec{n})\vec{n}$$

$$\vec{v}_{\perp} = \vec{v} - (\vec{v} \cdot \vec{n})\vec{n}$$

$$T_{ref}(\vec{v}) = T_{ref}(\vec{v}_{\parallel}) + T_{ref}(\vec{v}_{\perp}) = -\vec{v}_{\parallel} + \vec{v}_{\perp}$$

$$M = \vec{n}\vec{n}^T = \begin{bmatrix} n_x^2 & n_x n_y & n_x n_z \\ n_y n_x & n_y^2 & n_y n_z \\ n_z n_x & n_z n_y & n_z^2 \end{bmatrix}$$

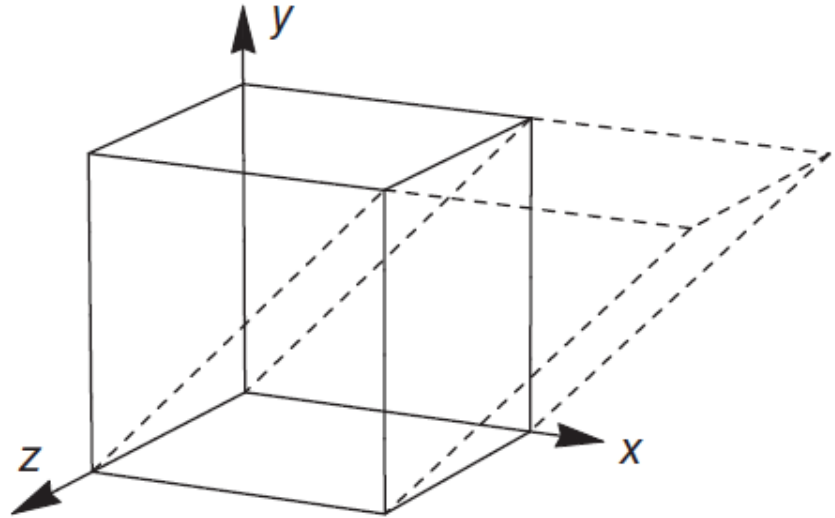


$$T_{ref}(\vec{v}) = \vec{v} - 2(\vec{v} \cdot \vec{n})\vec{n} = I\vec{v} - 2M\vec{v} = (I - 2M)\vec{v}$$

Трёхмерный сдвиг

$$x' = x + ay$$

$$y' = y + bx$$



$$\begin{pmatrix} x' \\ y' \\ z' \end{pmatrix} = \begin{pmatrix} 1 & a & 0 & 0 \\ b & 1 & 0 & 0 \\ 0 & 0 & 1 & 0 \\ 0 & 0 & 0 & 1 \end{pmatrix} \cdot \begin{pmatrix} x \\ y \\ z \\ 1 \end{pmatrix}$$

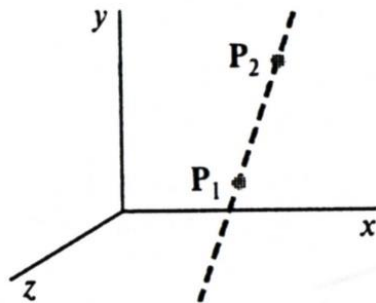
Трехмерный поворот (относительно одной из осей)

$$R_{OZ} = \begin{pmatrix} \cos \varphi & -\sin \varphi & 0 & 0 \\ \sin \varphi & \cos \varphi & 0 & 0 \\ 0 & 0 & 1 & 0 \\ 0 & 0 & 0 & 1 \end{pmatrix}$$

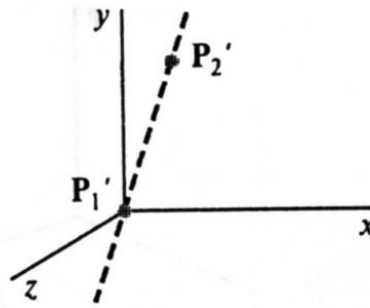
$$R_{OY} = \begin{pmatrix} \cos \varphi & 0 & \sin \varphi & 0 \\ 0 & 1 & 0 & 0 \\ -\sin \varphi & 0 & \cos \varphi & 0 \\ 0 & 0 & 0 & 1 \end{pmatrix}$$

$$R_{OX} = \begin{pmatrix} 1 & 0 & 0 & 0 \\ 0 & \cos \varphi & -\sin \varphi & 0 \\ 0 & \sin \varphi & \cos \varphi & 0 \\ 0 & 0 & 0 & 1 \end{pmatrix}$$

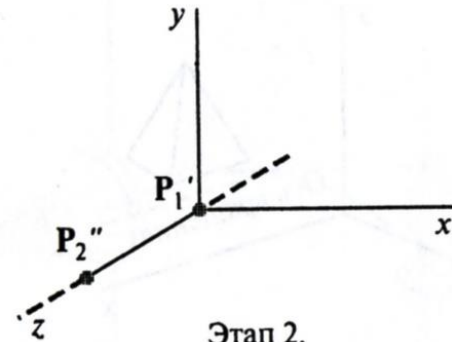
Трехмерный поворот



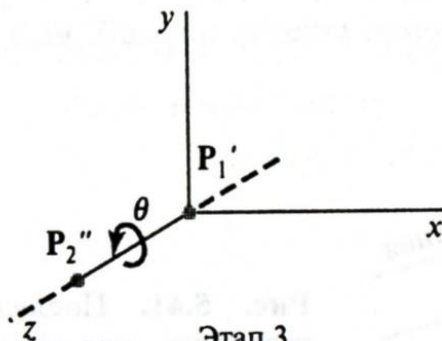
Исходное
положение



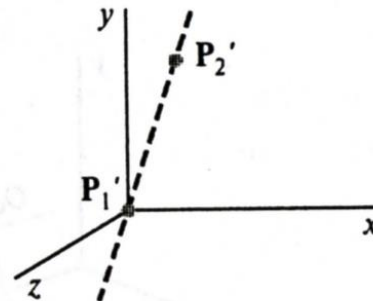
Этап 1.
Транслировать P_1
в начало координат



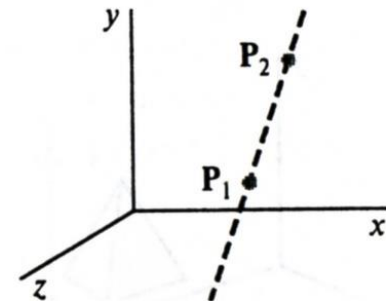
Этап 2.
Повернуть P_2'
на ось z



Этап 3.
Повернуть объект
вокруг оси z



Этап 4.
Повернуть ось в
начальное положение



Этап 5.
Транслировать ось
в исходное положение

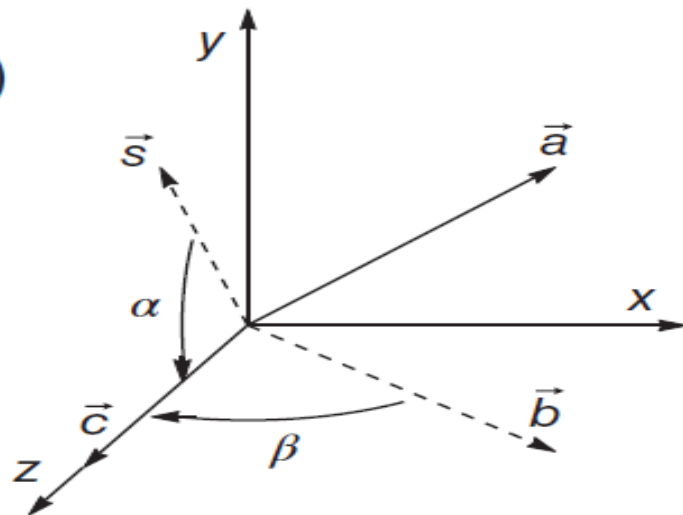
- Эйлер: комбинация любого числа поворотов всегда эквивалентна единственному повороту вокруг фиксированной оси

Трёхмерный поворот (относительно произвольной оси)

$$M_{arb} = M_x^{-1}(\alpha)M_y^{-1}(\beta)M_z(\theta)M_y(\beta)M_x(\alpha)$$

$$c = \cos \theta$$

$$s = \sin \theta$$



$$M_{arb} = \begin{bmatrix} c + (1 - c)a_x^2 & (1 - c)a_x a_y - s a_z & (1 - c)a_x a_z + s a_y \\ (1 - c)a_x a_y + s a_z & c + (1 - c)a_y^2 & (1 - c)a_y a_z - s a_x \\ (1 - c)a_x a_z - s a_y & (1 - c)a_y a_z + s a_x & c + (1 - c)a_z^2 \end{bmatrix}$$

Трёхмерный поворот (относительно произвольной оси) (2)

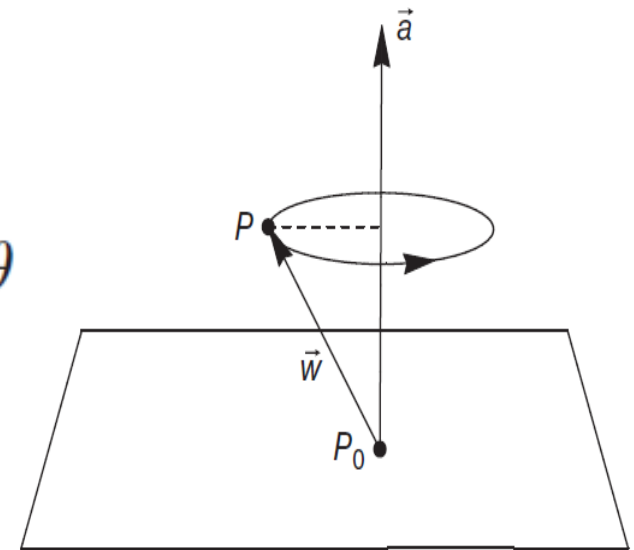
$$\vec{w}_{\parallel} = (\vec{a} \cdot \vec{w})\vec{a}$$

$$\vec{w}_{\perp} = \vec{w} - (\vec{a} \cdot \vec{w})\vec{a}$$

$$\vec{w}_r = (\vec{w} - (\vec{a} \cdot \vec{w})\vec{a}) \cos \theta + (\vec{a} \times \vec{w}_{\perp}) \sin \theta$$

$$(\vec{a} \cdot \vec{w})\vec{a} = (\vec{a} \otimes \vec{a})\vec{w} = \begin{bmatrix} a_x^2 & a_x a_y & a_x a_z \\ a_y a_x & a_y^2 & a_y a_z \\ a_z a_x & a_z a_y & a_z^2 \end{bmatrix} \vec{w}$$

$$\vec{a} \times \vec{w} = \begin{bmatrix} 0 & -a_z & a_y \\ a_z & 0 & -a_x \\ -a_y & a_x & 0 \end{bmatrix} \vec{w} = C_a \vec{w}$$



$$T_{rot}(\vec{w}) = M_{rot} \vec{w} = (I \cos \theta + (\vec{a} \otimes \vec{a})(1 - \cos \theta) + C_a \sin \theta) \vec{w}$$

Перемещение и ориентация

- положение объекта в пространстве задаётся с помощью шести параметров (6DoF, six degrees of freedom):
 - связанные с перемещением:
 - вперёд / назад (surging);
 - влево / вправо (swaying);
 - вверх / вниз (heaving);
 - связанные с поворотом:
 - крен (roll) : поворот вокруг продольной оси;
 - тангаж (pitch) : поворот вокруг поперечной оси;
 - рыскание (yaw) : поворот относительно вертикальной оси;
- описание поворотов:
 - углы Эйлера (определяют три угла поворота системы, которые позволяют привести исходное положение к текущему) → Gimbal lock;
 - кватернионы (Slerp: spherical linear interpolation).

Вращение с использованием кватернионов

$$\hat{q} = (\cos \theta, \vec{u} \sin \theta)$$

$$\hat{v} = (0, \vec{v})$$

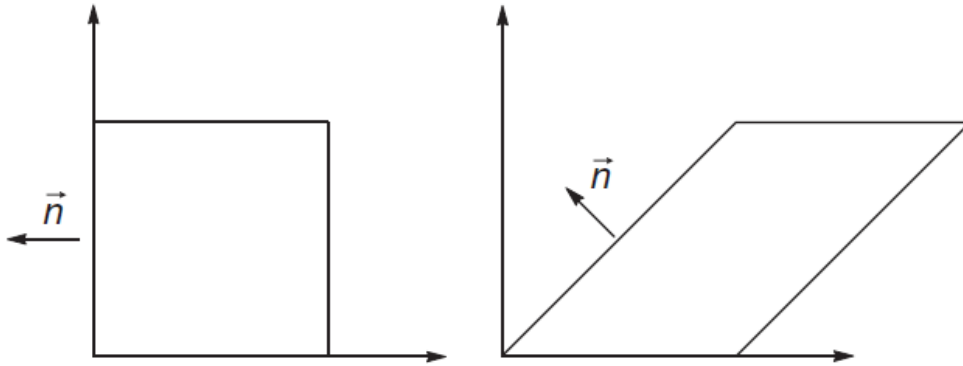
$T(\hat{v}) = \hat{q}\hat{v}\hat{q}^{-1}$ rotates \vec{v} around the axis \vec{u} through an angle 2θ

$$\hat{q} = (a, \vec{w}) = (a, b, c, d)$$

$$R(\hat{q}) = \begin{bmatrix} a^2 + b^2 - c^2 - d^2 & 2bc - 2ad & 2bd + 2ac \\ 2bc + 2ad & a^2 - b^2 + c^2 - d^2 & 2cd - 2ab \\ 2bd - 2ac & 2cd + 2ab & a^2 - b^2 - c^2 + d^2 \end{bmatrix}$$

- Slerp:
$$\hat{q}(t) = \frac{\sin(1-t)\theta}{\sin \theta} \hat{q}_1 + \frac{\sin t\theta}{\sin \theta} \hat{q}_2$$

Преобразование нормалей



$$L\vec{n} \cdot M\vec{v} = 0$$

$$(L\vec{n})^T M\vec{v} = \vec{n}^T L^T M\vec{v} = 0$$

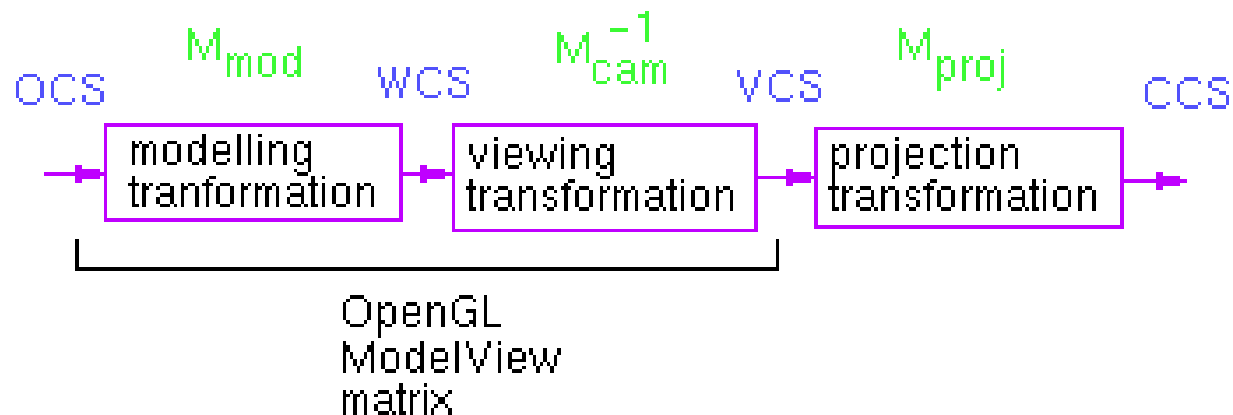
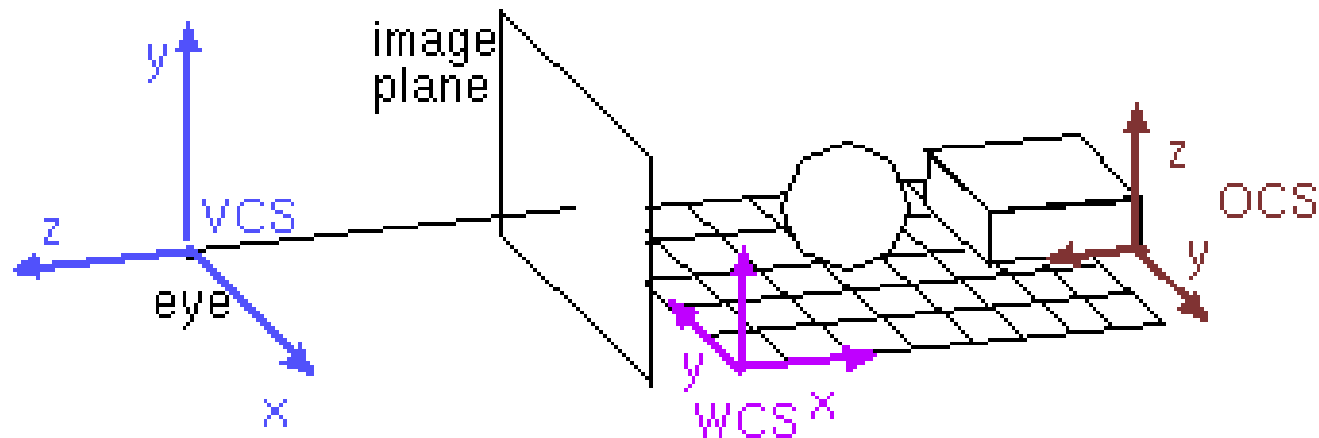
$$L = (M^{-1})^T$$

$$\vec{n} \cdot \vec{v} = \vec{n}^T \vec{v} = \begin{bmatrix} n_1 & n_2 & n_3 \end{bmatrix} \begin{bmatrix} v_1 \\ v_2 \\ v_3 \end{bmatrix} = 0$$

- преобразования вершин и нормалей совпадают в том случае, когда преобразование задано ортогональной матрицей (например, повороты)

$$M = (M^{-1})^T$$

Преобразования в графическом конвейере OpenGL



Функции операций с матрицами преобразований в OpenGL

- Выбор матрицы преобразований для изменения:

```
void glMatrixMode(Glenum mode =  
    {GL_MODELVIEW | GL_PROJECTION | GL_TEXTURE})
```

- Основные операции над матрицами:

```
void glLoadIdentity();
```

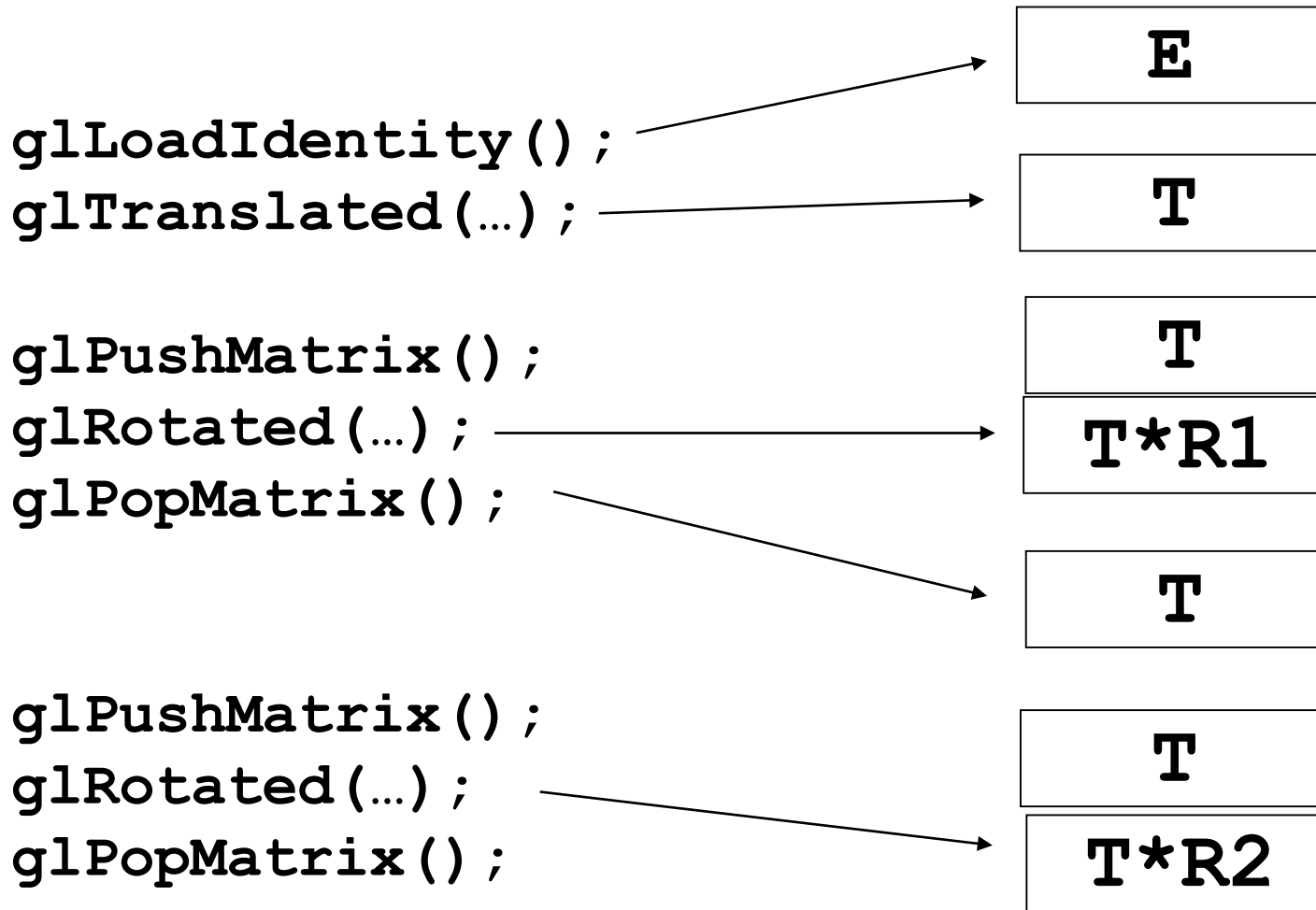
$$M = I$$

```
void glLoadMatrixd(GLdouble m[16]);
```

```
void glMultMatrixd(GLdouble m[16]);
```

$$V = C \cdot \begin{bmatrix} m[0] & m[4] & m[8] & m[12] \\ m[1] & m[5] & m[9] & m[13] \\ m[2] & m[6] & m[10] & m[14] \\ m[3] & m[7] & m[11] & m[15] \end{bmatrix} \cdot \begin{bmatrix} v[0] \\ v[1] \\ v[2] \\ v[3] \end{bmatrix}$$

Стек матриц в OpenGL



Определение глубины стека: `glGetIntegerv (GL_MAX_MODELVIEW_STACK_DEPTH)`

Определение текущей глубины стека: `glGetIntegerv (GL_MODELVIEW_STACK_DEPTH)`

Функции геометрических преобразований в OpenGL

```
void glTranslated(GLdouble x,  
                  GLdouble y,  
                  GLdouble z);
```

```
void glScaled(GLdouble x,  
              GLdouble y,  
              GLdouble z);
```

```
void glRotated(GLdouble angle,  
               GLdouble ax,  
               GLdouble ay,  
               GLdouble az);
```

- преобразования объектов и камеры в OpenGL производятся с помощью умножения векторов координат на *текущую матрицу* в момент определения координат вершин
- при определении преобразования умножение матриц производится аналогично функции `glMultMatrixd()`, следовательно, преобразования необходимо задавать в обратном порядке.

Видовое преобразование в OpenGL

- стандартная камера в OpenGL:
 - наблюдатель в (0, 0, 0)
 - смотрит по направлению (0, 0, -1)
 - верх (0, 1, 0)

```
gluLookAt( eyex, eyey, eyez,  
           aimx, aimy, aimz,  
           upx, upy, upz)
```

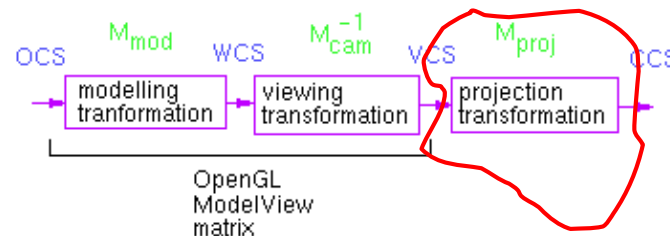
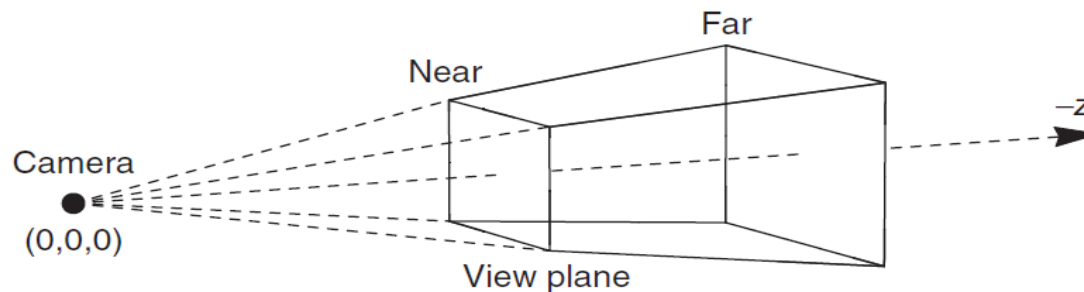
- eye – координаты наблюдателя
- aim – координаты «цели» (центра сцены)
- up – направление «вверх»

Вызывать команду `gluLookAt()` имеет смысл *перед* определением преобразований объектов, когда модельно-видовая матрица равна единичной



Проективное преобразование и проекция

- проективное преобразование: реализует 3D преобразование, подготавливая модель к переходу к 2D (координата Z сохраняется);
- проекция: переход к двумерной системе координат;
- после проективного преобразования необходимо отбросить координату z и получить значения в оконных координатах;
- объём видимости: ограничивает видимую область пространства;



Проекции

основные понятия:

- проецирующие лучи (проекторы)
- поверхность проекции, плоскость проекции
- центр проекции
- главная ось: ось координат
- перспективное искажение, точки схода
- коэффициент укорачивания

Классификация проекций

- параллельная:
 - ортогональная, ортографическая*;
 - аксонометрическая:
 - прямоугольная * :
 - изометрия;
 - диметрия;
 - триметрия;
 - косоугольная **:
 - кавалье / военная перспектива (горизонтальная изометрия);
 - кабинетная (фронтальная диметрия);
- перспективная (центральная):
 - одноточечная;
 - двухточечная;
 - трехточечная;

Параллельные проекции

Уравнение плоскости (1): $\mathbf{n} \cdot (Q - B) = 0$

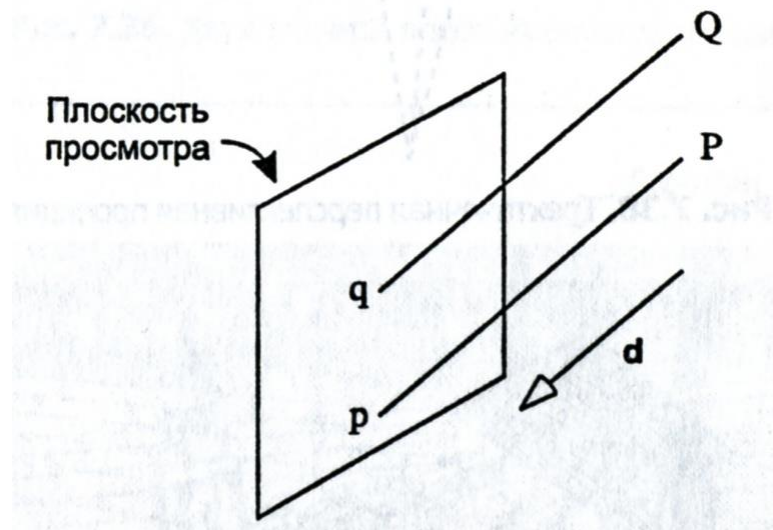
Проецируемая точка (2): $P + \mathbf{d}t$:

$$p = P + \mathbf{d} \frac{\mathbf{n} \cdot (B - P)}{\mathbf{n} \cdot \mathbf{d}}.$$

Условия $\mathbf{n} = (0, 0, 1)$

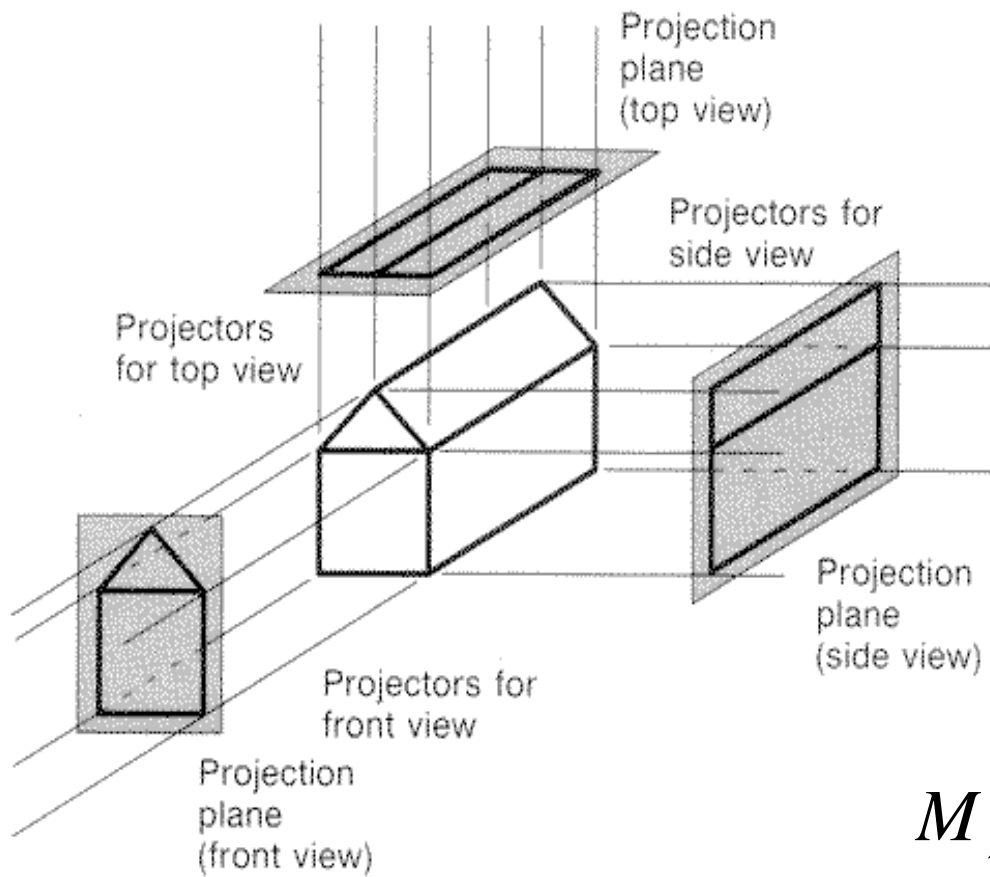
$B = (0, 0, 0)$

$$p = \left(P_x - d_x \frac{P_z}{d_z}, P_y - d_y \frac{P_z}{d_z}, 0 \right).$$



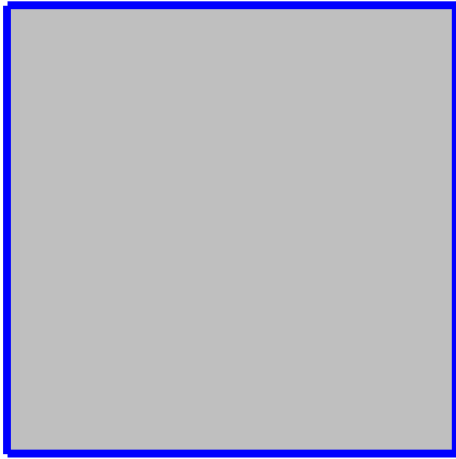
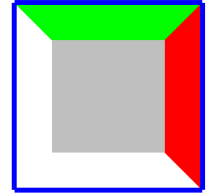
$$\begin{pmatrix} p_x \\ p_y \\ p_z \\ 1 \end{pmatrix} = \begin{pmatrix} 1 & 0 & -\frac{d_x}{d_z} & 0 \\ 0 & 1 & -\frac{d_y}{d_z} & 0 \\ 0 & 0 & 0 & 0 \\ 0 & 0 & 0 & 1 \end{pmatrix} \begin{pmatrix} P_x \\ P_y \\ P_z \\ 1 \end{pmatrix}.$$

Ортогографическая проекция (виды)



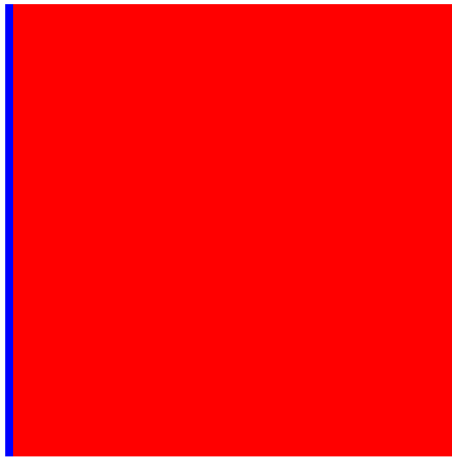
$$M_z = \begin{pmatrix} 1 & 0 & 0 & 0 \\ 0 & 1 & 0 & 0 \\ 0 & 0 & 0 & d = -Z_0 \\ 0 & 0 & 0 & 1 \end{pmatrix}$$

Ортографическая проекция: пример



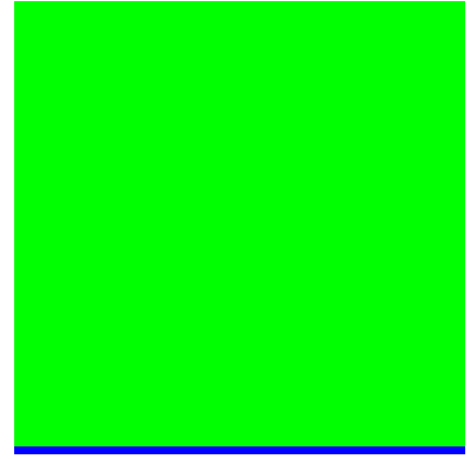
вид спереди
(front view)

$$M_z = \begin{pmatrix} 1 & 0 & 0 & 0 \\ 0 & 1 & 0 & 0 \\ 0 & 0 & -1 & 0 \\ 0 & 0 & 0 & 1 \end{pmatrix}$$



вид слева
(side view)

$$M_x = \begin{pmatrix} 0 & 0 & -1 & 0 \\ 0 & 1 & 0 & 0 \\ -1 & 0 & 0 & 0 \\ 0 & 0 & 0 & 1 \end{pmatrix}$$



вид сверху
(top view)

$$M_y = \begin{pmatrix} 1 & 0 & 0 & 0 \\ 0 & 0 & -1 & 0 \\ 0 & -1 & 0 & 0 \\ 0 & 0 & 0 & 1 \end{pmatrix}$$

Прямоугольные аксонометрические проекции

$$[T][U] = [T] \begin{pmatrix} 1 & 0 & 0 \\ 0 & 1 & 0 \\ 0 & 0 & 1 \\ 1 & 1 & 1 \end{pmatrix} = \begin{pmatrix} x_x^* & x_y^* & x_z^* \\ y_x^* & y_y^* & y_z^* \\ 0 & 0 & 0 \\ 1 & 1 & 1 \end{pmatrix}$$

$$f_x = \sqrt{x_x^{*2} + y_x^{*2}},$$

$$f_y = \sqrt{x_y^{*2} + y_y^{*2}},$$

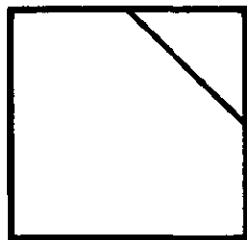
$$f_z = \sqrt{x_z^{*2} + y_z^{*2}}.$$

коэффициенты
искажения вдоль
главных осей

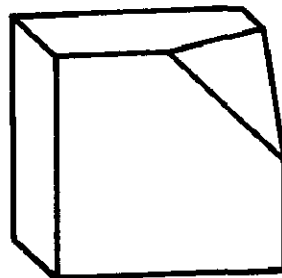
$$[T] = \begin{pmatrix} 1 & 0 & 0 & 0 \\ 0 & 1 & 0 & 0 \\ 0 & 0 & 0 & 0 \\ 0 & 0 & 0 & 1 \end{pmatrix} \begin{pmatrix} 1 & 0 & 0 & 0 \\ 0 & \cos \theta & -\sin \theta & 0 \\ 0 & \sin \theta & \cos \theta & 0 \\ 0 & 0 & 0 & 1 \end{pmatrix} \begin{pmatrix} \cos \varphi & 0 & \sin \varphi & 0 \\ 0 & 1 & 0 & 0 \\ -\sin \varphi & 0 & \cos \varphi & 0 \\ 0 & 0 & 0 & 1 \end{pmatrix}$$

Диметрия

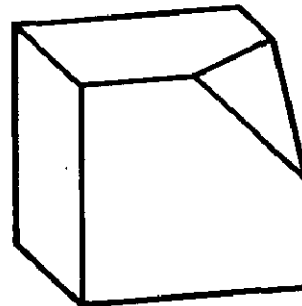
$$\theta = \arcsin(\pm f_z / \sqrt{2}). \quad \phi = \arcsin(\pm f_z / \sqrt{2 - f_z^2}).$$



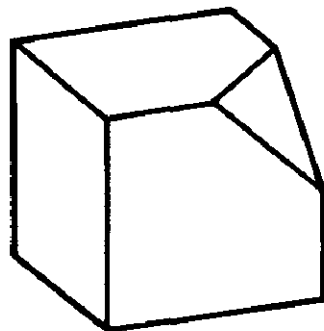
$f = 0$
(a)



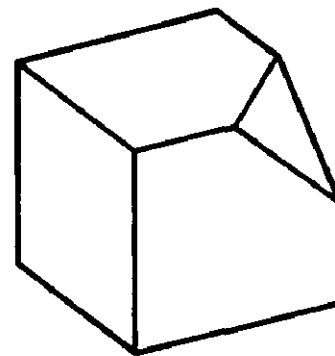
$f = \frac{1}{4}$
(b)



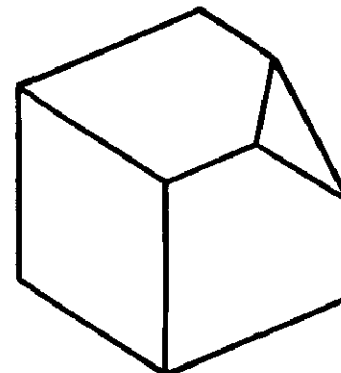
$f = \frac{3}{8}$
(c)



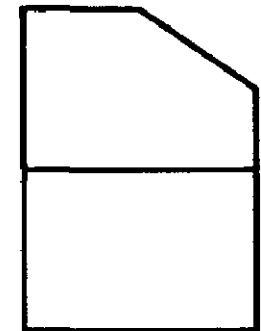
$f = \frac{1}{2}$
(d)



$f = \frac{5}{8}$
(e)



$f = \frac{3}{4}$
(f)

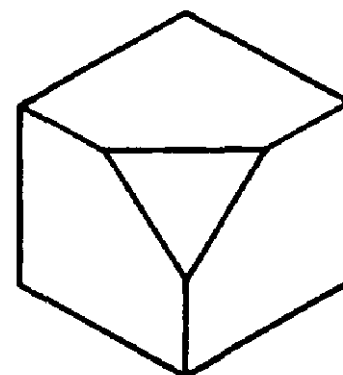
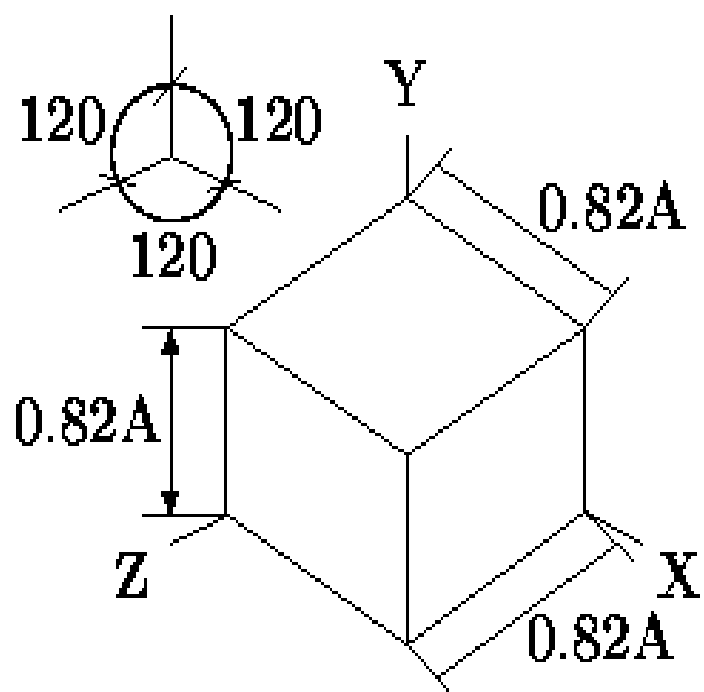


$f = 1$
(g)

Изометрия

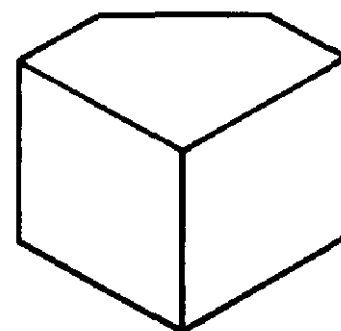
$$\theta = \pm 35,26^\circ$$

$$\phi = \pm 45^\circ$$



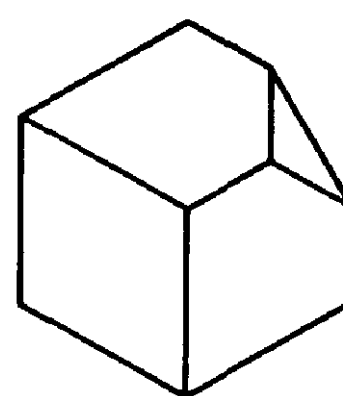
$$\phi < 0, \theta > 0$$

(a)



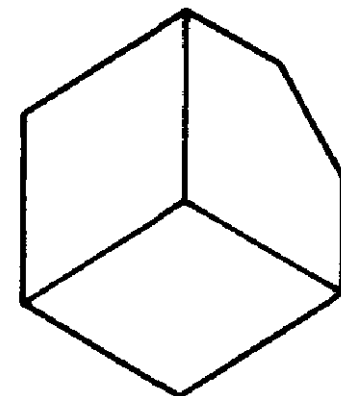
$$\phi < 0, \theta < 0$$

(b)



$$\phi > 0, \theta > 0$$

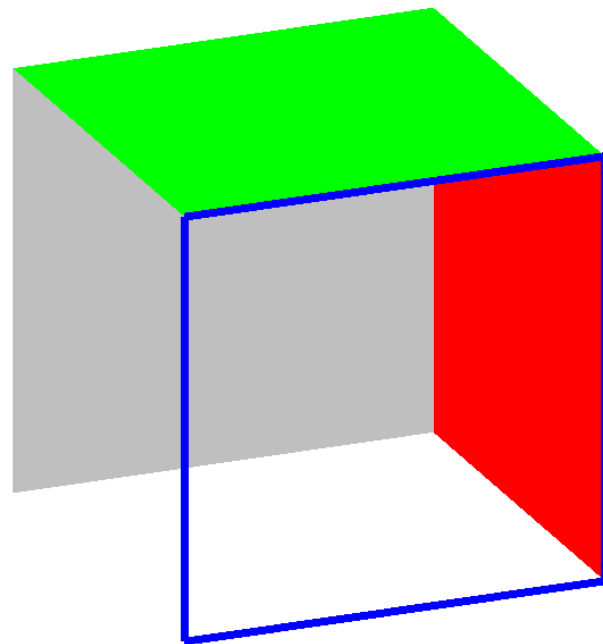
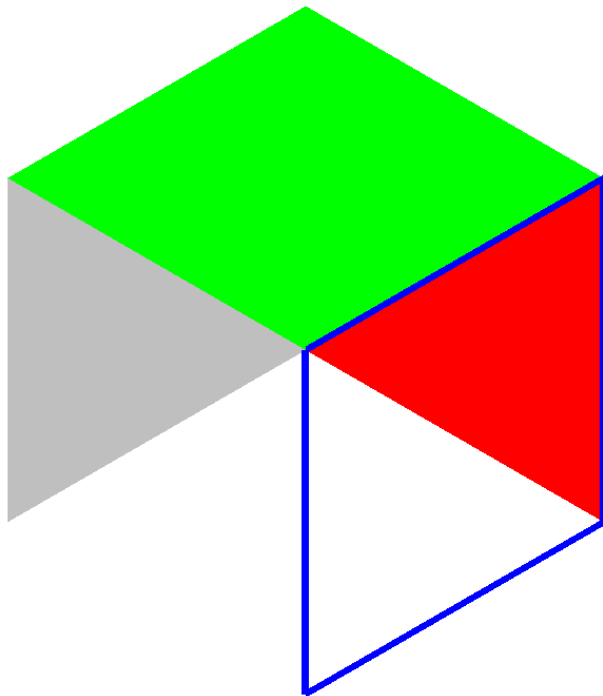
(c)



$$\phi > 0, \theta < 0$$

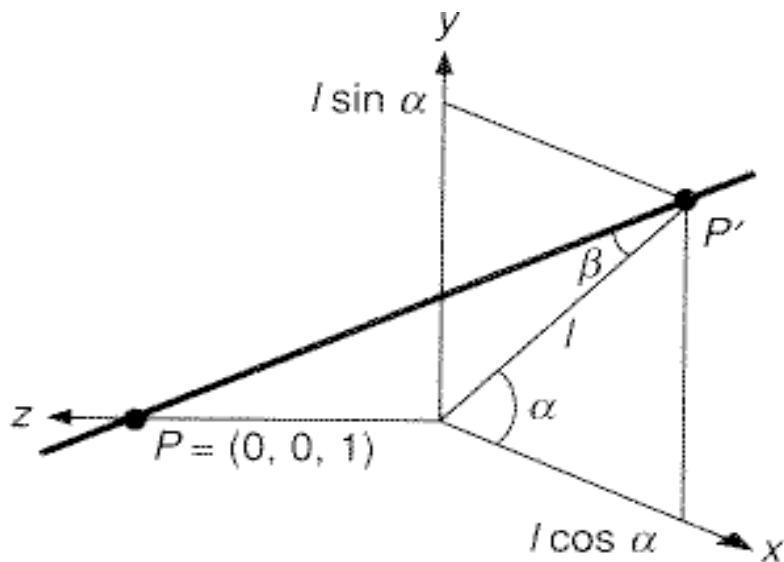
(d)

Изометрия и диметрия: пример



$$[T] = \begin{pmatrix} 1 & 0 & 0 & 0 \\ 0 & 1 & 0 & 0 \\ 0 & 0 & -1 & 0 \\ 0 & 0 & 0 & 1 \end{pmatrix} \begin{pmatrix} 1 & 0 & 0 & 0 \\ 0 & \cos \theta & -\sin \theta & 0 \\ 0 & \sin \theta & \cos \theta & 0 \\ 0 & 0 & 0 & 1 \end{pmatrix} \begin{pmatrix} \cos \varphi & 0 & \sin \varphi & 0 \\ 0 & 1 & 0 & 0 \\ -\sin \varphi & 0 & \cos \varphi & 0 \\ 0 & 0 & 0 & 1 \end{pmatrix} = \begin{pmatrix} \cos \varphi & 0 & \sin \varphi & 0 \\ \sin \varphi \sin \theta & \cos \theta & -\cos \varphi \sin \theta & 0 \\ \sin \varphi \cos \theta & -\sin \theta & -\cos \varphi \cos \theta & 0 \\ 0 & 0 & 0 & 1 \end{pmatrix}$$

Косоугольные аксонометрические проекции



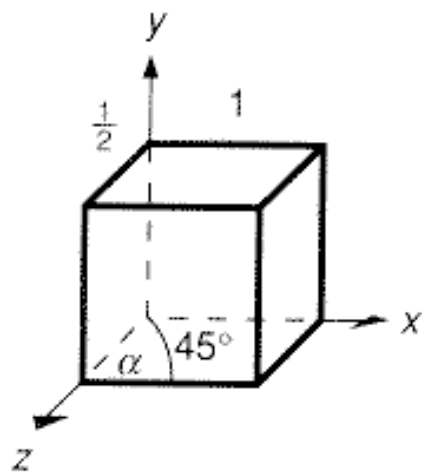
- Направление проецирования
($l \cos \alpha, l \sin \alpha, -1$)
- Угол между косыми проекторами и плоскостью проекции
 $\beta = \text{arcctg}(l)$
- Военная проекция (кавалье)
 $\beta = \text{arcctg}(1) = 45^\circ$
- Кабинетная проекция
 $\beta = \text{arcctg}(1/2) = 63.435^\circ$

$$[T] = \begin{pmatrix} 1 & 0 & 0 & 0 \\ 0 & 1 & 0 & 0 \\ 0 & 0 & 0 & 0 \\ 0 & 0 & 0 & 1 \end{pmatrix} \begin{pmatrix} 1 & 0 & -l * \cos \alpha & 0 \\ 0 & 1 & -l * \sin \alpha & 0 \\ 0 & 0 & 1 & 0 \\ 0 & 0 & 0 & 1 \end{pmatrix}$$

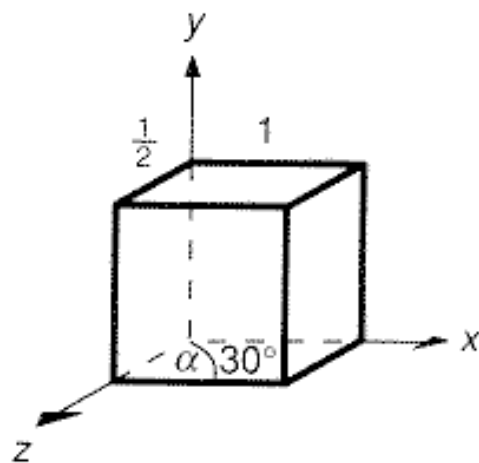
$$\begin{pmatrix} P_x \\ P_y \\ P_z \\ 1 \end{pmatrix} = \begin{pmatrix} 1 & 0 & -\frac{d_x}{d_z} & 0 \\ 0 & 1 & -\frac{d_y}{d_z} & 0 \\ 0 & 0 & 0 & 0 \\ 0 & 0 & 0 & 1 \end{pmatrix} \begin{pmatrix} P_x \\ P_y \\ P_z \\ 1 \end{pmatrix}.$$

Фронтальная диметрия (Cabinet)

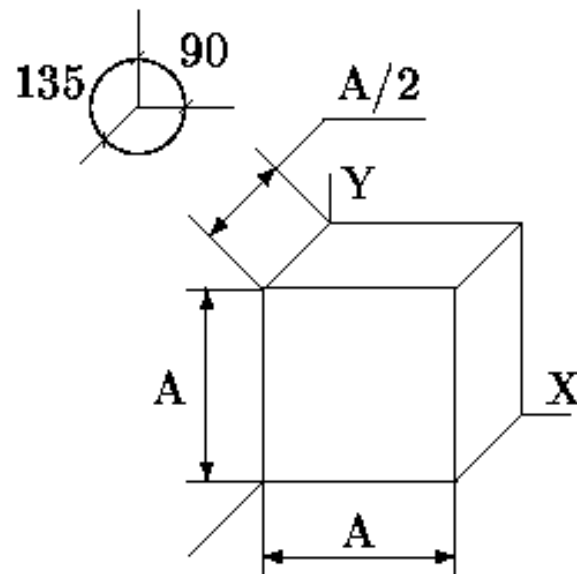
- плоскость проецирования перпендикулярна оси Z



(a)

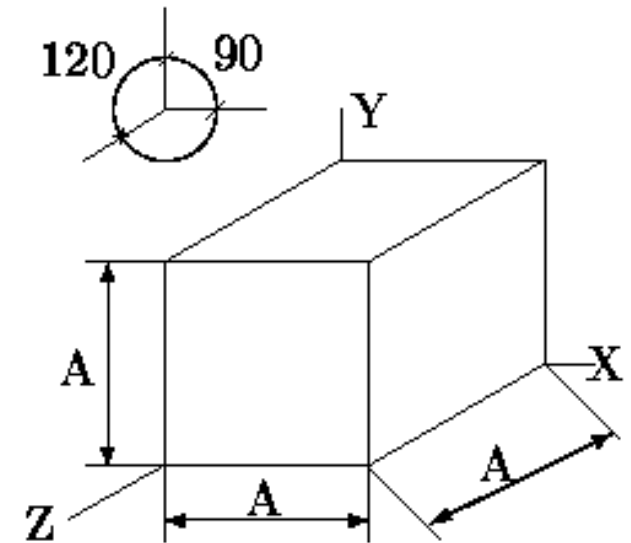
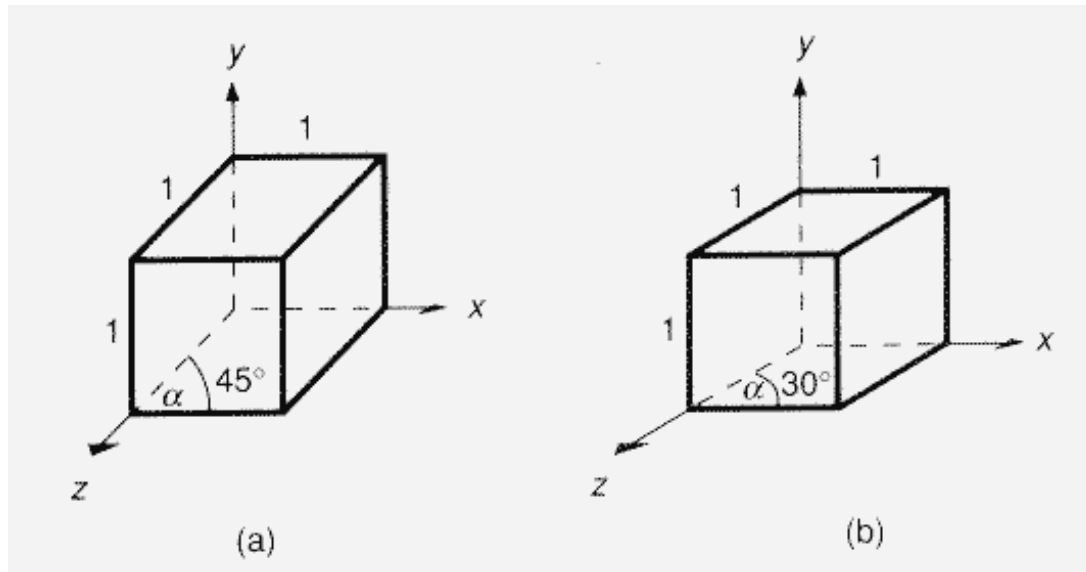


(b)

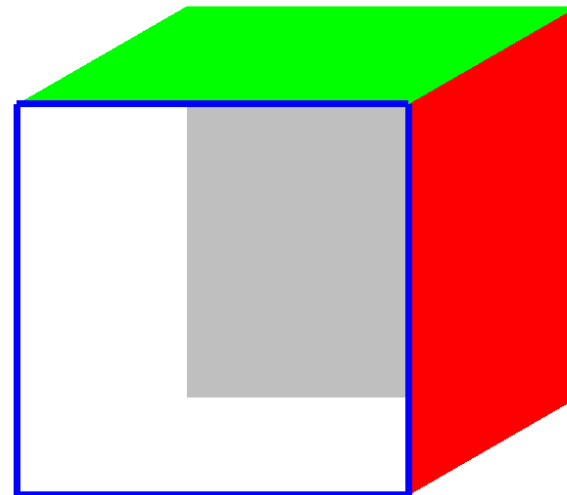
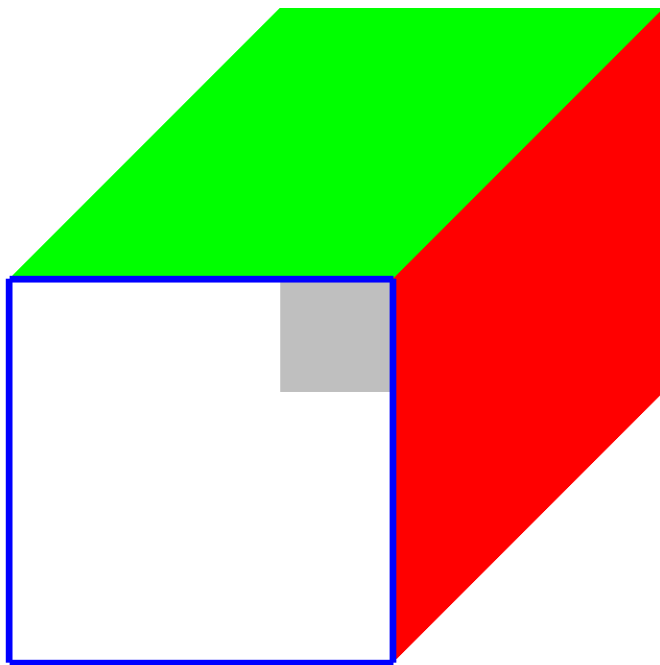


Горизонтальная изометрия (Cavalier, военная перспектива)

- плоскость проецирования перпендикулярна оси Y



Горизонтальная изометрия и фронтальная диметрия: пример



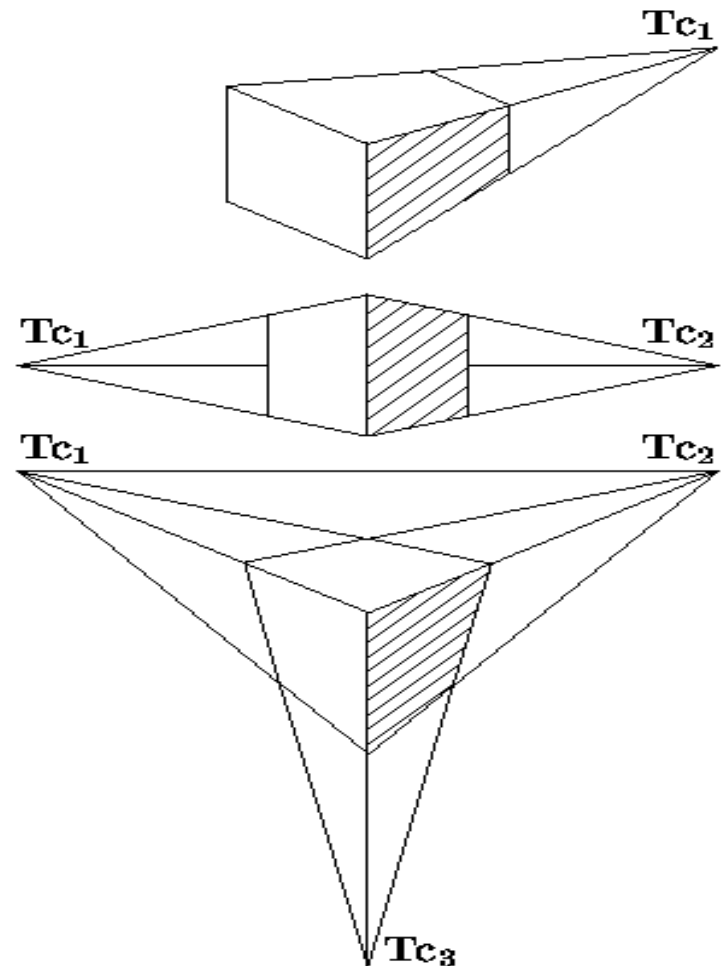
$$[T] = \begin{pmatrix} 1 & 0 & 0 & 0 \\ 0 & 1 & 0 & 0 \\ 0 & 0 & -1 & 0 \\ 0 & 0 & 0 & 1 \end{pmatrix} \begin{pmatrix} 1 & 0 & -l * \cos \alpha & 0 \\ 0 & 1 & -l * \sin \alpha & 0 \\ 0 & 0 & 1 & 0 \\ 0 & 0 & 0 & 1 \end{pmatrix} = \begin{pmatrix} 1 & 0 & -l * \cos \alpha & 0 \\ 0 & 1 & -l * \sin \alpha & 0 \\ 0 & 0 & -1 & 0 \\ 0 & 0 & 0 & 1 \end{pmatrix}$$

Центральные (перспективные) проекции

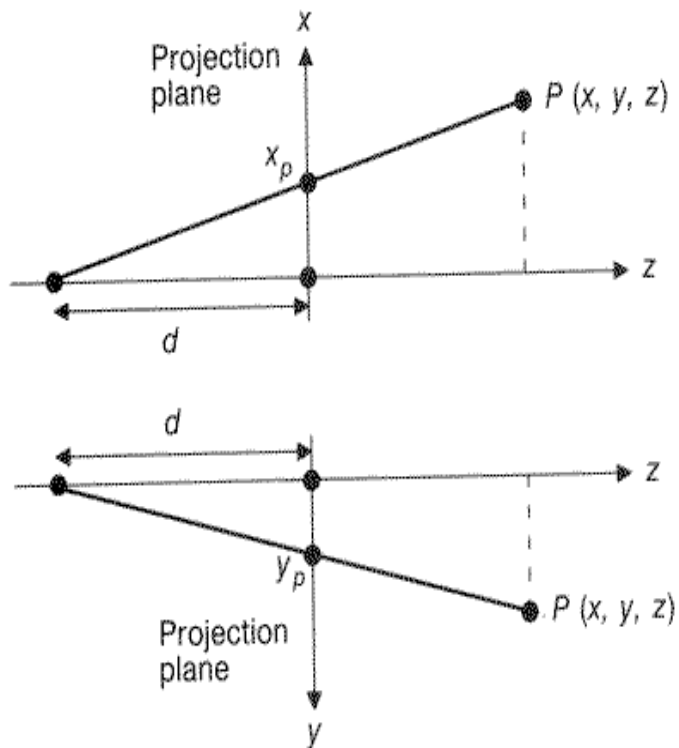
Центральные проекции

параллельных прямых, не параллельных плоскости проекции будут сходиться в *точке схода*, количество которых (для прямых, параллельных осям координат), зависит от числа координатных осей, которые пересекает плоскость проекции

$$[T] = \begin{pmatrix} 1 & 0 & 0 & 0 \\ 0 & 1 & 0 & 0 \\ 0 & 0 & 1 & 0 \\ p & q & r & 1 \end{pmatrix}$$



Перспективная проекция: матричное представление



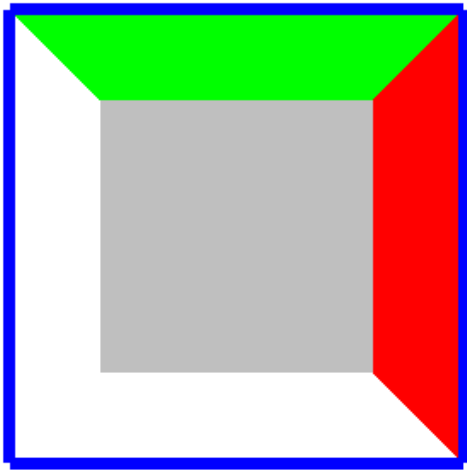
$$M_{per} = \begin{bmatrix} 1 & 0 & 0 & 0 \\ 0 & 1 & 0 & 0 \\ 0 & 0 & 0 & 0 \\ 0 & 0 & 1/d & 1 \end{bmatrix}$$

$$x_p = \frac{d \cdot x}{z + d} = \frac{x}{(z/d) + 1}$$

$$y_p = \frac{d \cdot y}{z + d} = \frac{y}{(z/d) + 1}$$

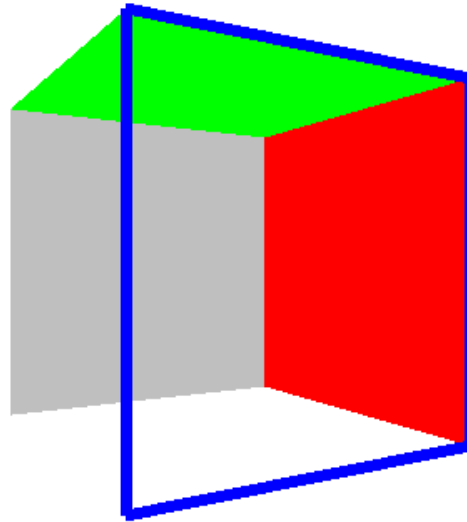
$$\frac{x_p}{d} = \frac{x}{z + d}, \frac{y_p}{d} = \frac{y}{z + d},$$

Перспективная проекция: пример



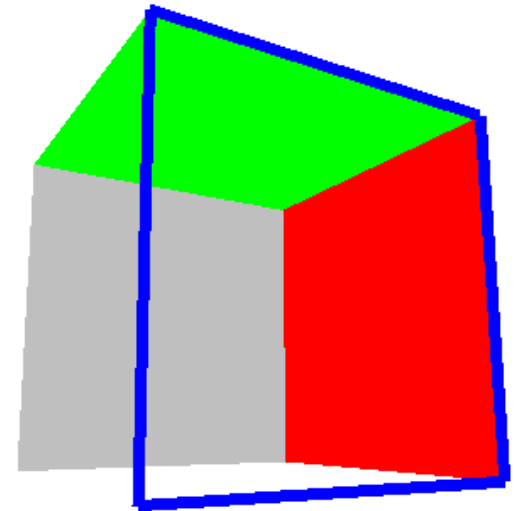
- одноточечная

$$M_{1P} = \begin{pmatrix} 1 & 0 & 0 & 0 \\ 0 & 1 & 0 & 0 \\ 0 & 0 & -2 & 1 \\ 0 & 0 & -1 & 2 \end{pmatrix}$$



- двухточечная

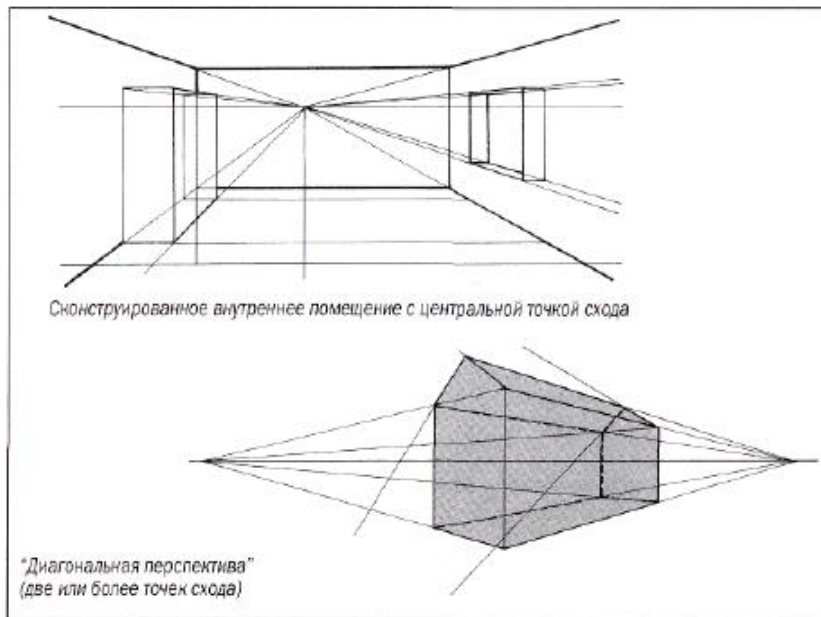
$$M_{2P} = \begin{pmatrix} 0,87 & 0 & 0,5 & 0 \\ 0 & 1 & 0 & 0 \\ 1 & 0 & -1,73 & 1 \\ 0,5 & 0 & -0,87 & 2 \end{pmatrix}$$



- трёхточечная

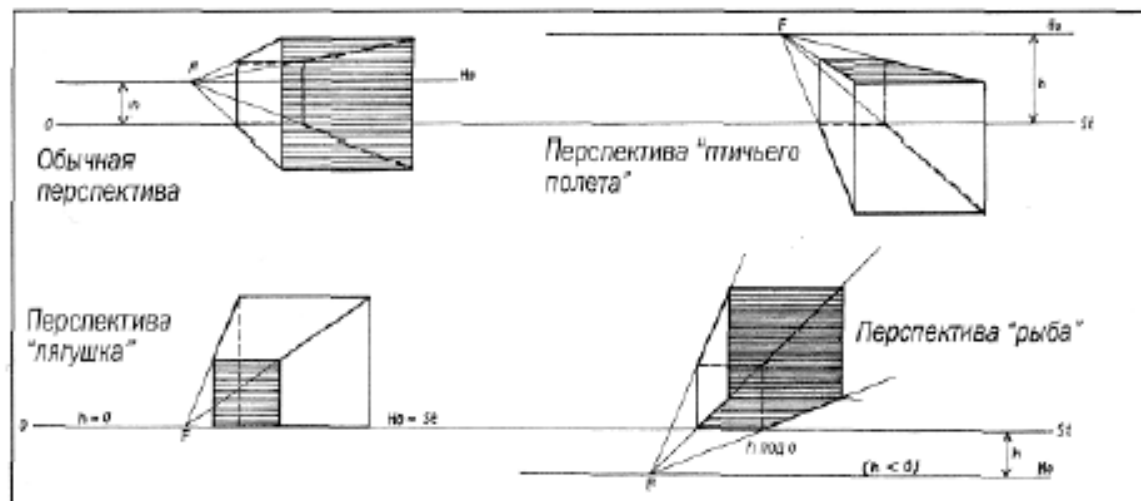
$$M_{3P} = \begin{pmatrix} 0,87 & 0 & 0,5 & 0 \\ -0,09 & 0,98 & 0,15 & 0 \\ 0,98 & 0,35 & -1,7 & 1 \\ 0,49 & 0,17 & -0,85 & 2 \end{pmatrix}$$

Центральная перспектива

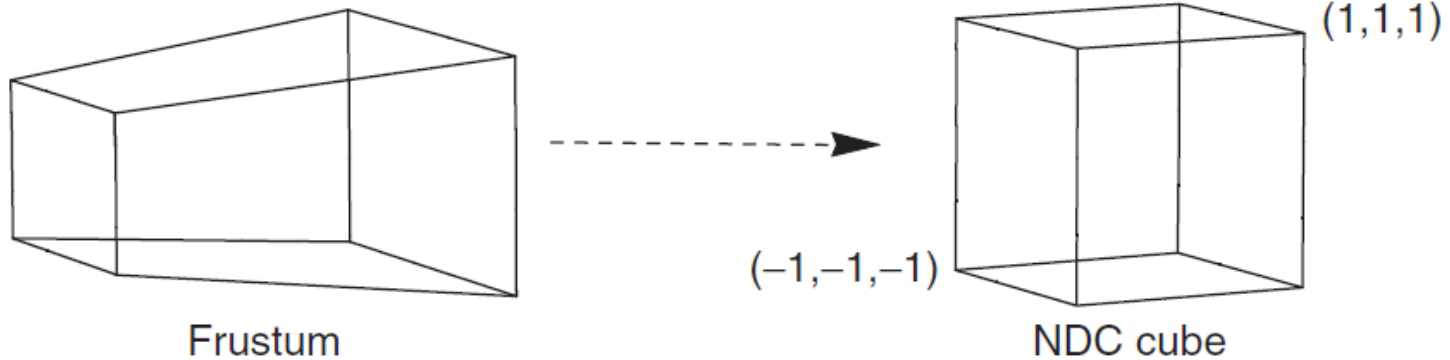


искаженная перспектива

- выбор центра проецирования для достижения желаемого эффекта при восприятии
- несоответствие положения наблюдателя и центра проекции



Нормализованные координаты



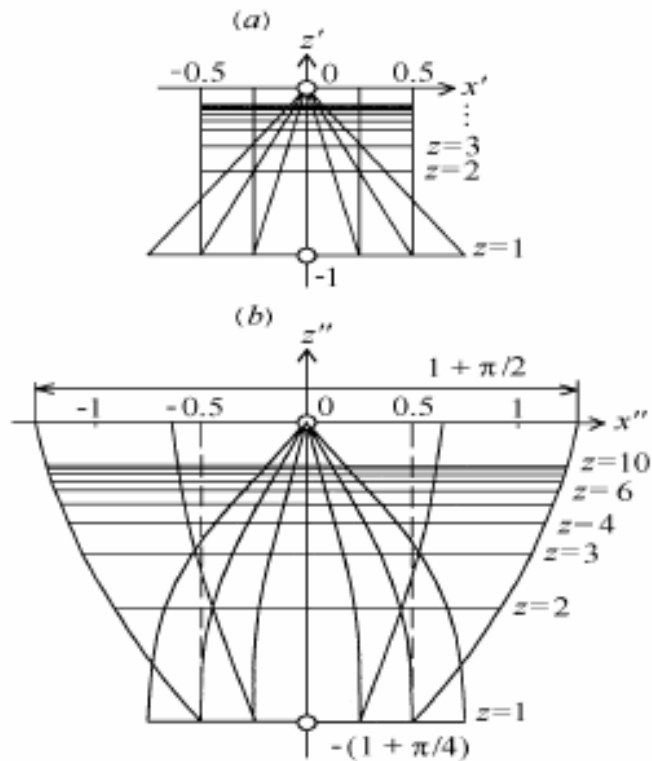
$$M_{per} = \begin{bmatrix} \frac{-2z_n}{w_r - w_l} & 0 & \frac{w_r + w_l}{w_r - w_l} & 0 \\ 0 & \frac{-2z_n}{w_t - w_b} & \frac{w_t + w_b}{w_t - w_b} & 0 \\ 0 & 0 & \frac{z_n + z_f}{z_n - z_f} & -\frac{2z_n z_f}{z_n - z_f} \\ 0 & 0 & -1 & 0 \end{bmatrix}$$

- интерполяция с учётом перспективы

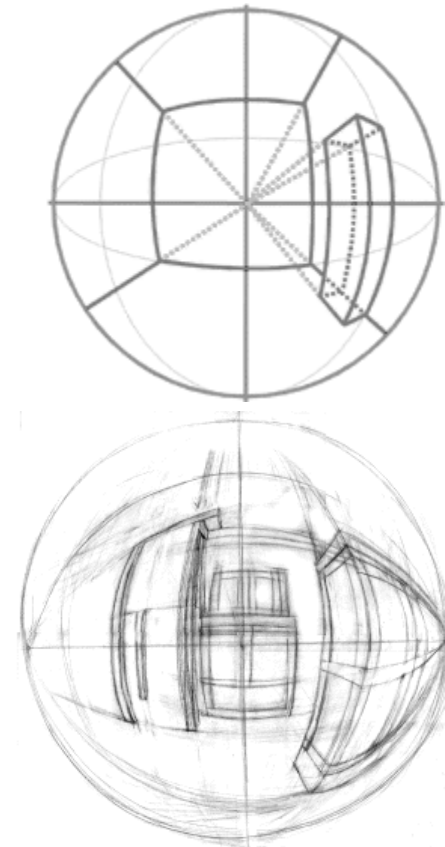
$$\frac{1}{z_2} = (1 - s) \frac{1}{z_1} + s \frac{1}{z_3}$$

$$\frac{c_2}{z_2} = (1 - s) \frac{c_1}{z_1} + s \frac{c_3}{z_3}$$

Нелинейная перспектива



Пространство изображений:
а – линейное,
б – нелинейное.

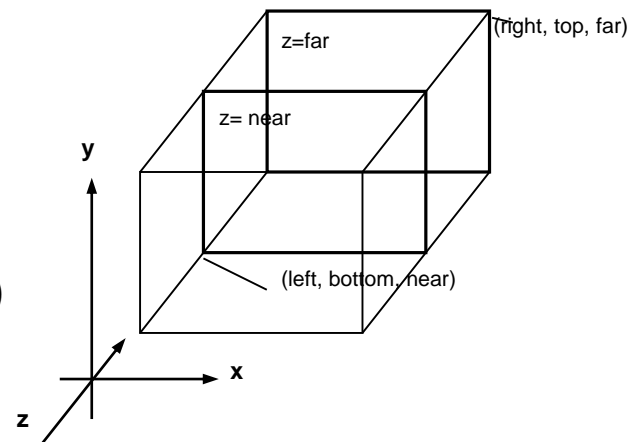


Сферическая перспектива
(сохраняет угловые размеры
объектов)

Ортографическое проективное преобразование в OpenGL

```
void glOrtho (    GLdouble left, GLdouble right,  
                  GLdouble bottom, GLdouble top,  
                  GLdouble near, GLdouble far)
```

```
void gluOrtho2D (GLdouble left, GLdouble right,  
                  GLdouble bottom, GLdouble top)  
    // near = -1, far = 1
```



Определяет параллелепипед видимости, ребра которого направлены вдоль осей координат, с точкой наблюдения в (0, 0, 0), используется левосторонняя система координат. Параметры команды задают точки (left, bottom, znear) и (right, top, zfar), которые отвечают левому нижнему и правому верхнему углам окна вывода. Параметры near и far задают расстояние до ближней и дальней плоскостей отсечения по удалению от точки (0,0,0) и могут быть отрицательными.

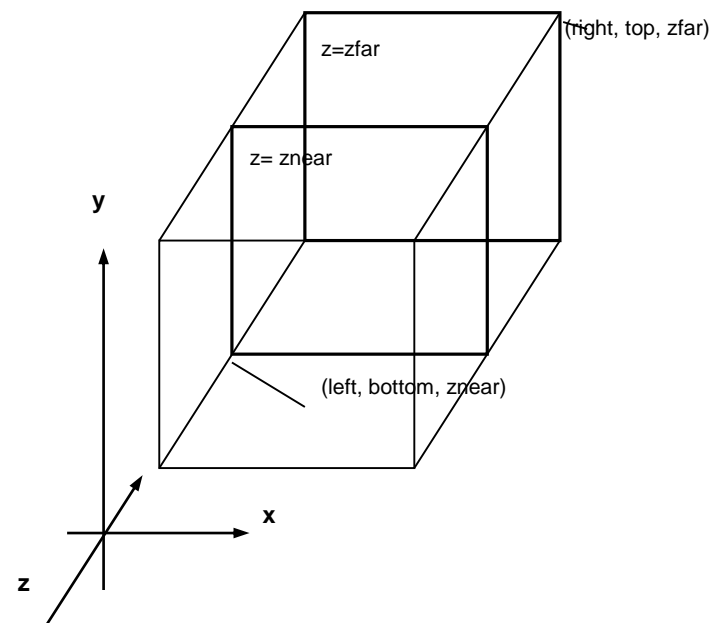
Матрица ортографического проективного преобразования в OpenGL

$$\begin{pmatrix} \frac{2}{right-left} & 0 & 0 & t_x \\ 0 & \frac{2}{top-bottom} & 0 & t_y \\ 0 & 0 & \frac{-2}{far-near} & t_z \\ 0 & 0 & 0 & -1 \end{pmatrix}$$

$$t_x = - \frac{right+left}{right-left}$$

$$t_y = - \frac{top+bottom}{top-bottom}$$

$$t_z = - \frac{far+near}{far-near}$$



Определяет параллелепипед видимости, ребра которого направлены вдоль осей координат, с точкой наблюдения в (0, 0, 0), используется левосторонняя система координат.

Перспективное проективное преобразование в OpenGL (определение пирамиды видимости)

void glFrustum(GLdouble left, GLdouble right, GLdouble bottom, GLdouble top, GLdouble znear, GLdouble zfar);

$$\begin{pmatrix} \frac{2 \text{ near}}{\text{right-left}} & 0 & A & 0 \\ 0 & \frac{2 \text{ near}}{\text{top-bottom}} & B & 0 \\ 0 & 0 & C & D \\ 0 & 0 & -1 & 0 \end{pmatrix}$$

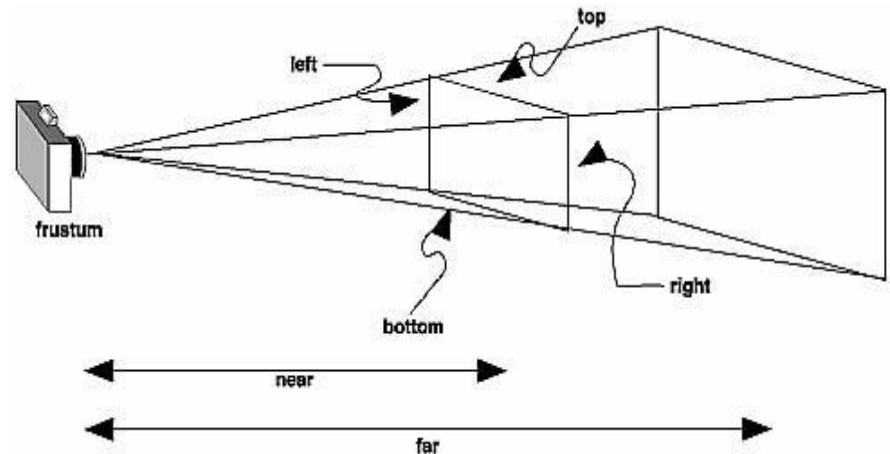
$$A = \frac{\text{right} + \text{left}}{\text{right} - \text{left}}$$

$$B = \frac{\text{top} + \text{bottom}}{\text{top} - \text{bottom}}$$

$$C = -\frac{\text{far} + \text{near}}{\text{far} - \text{near}}$$

$$D = -\frac{2 \text{ far near}}{\text{far} - \text{near}}$$

Определяет пирамиду видимости, расположенную вдоль оси Z с вершиной в точке (0, 0, 0), используется левосторонняя система координат.



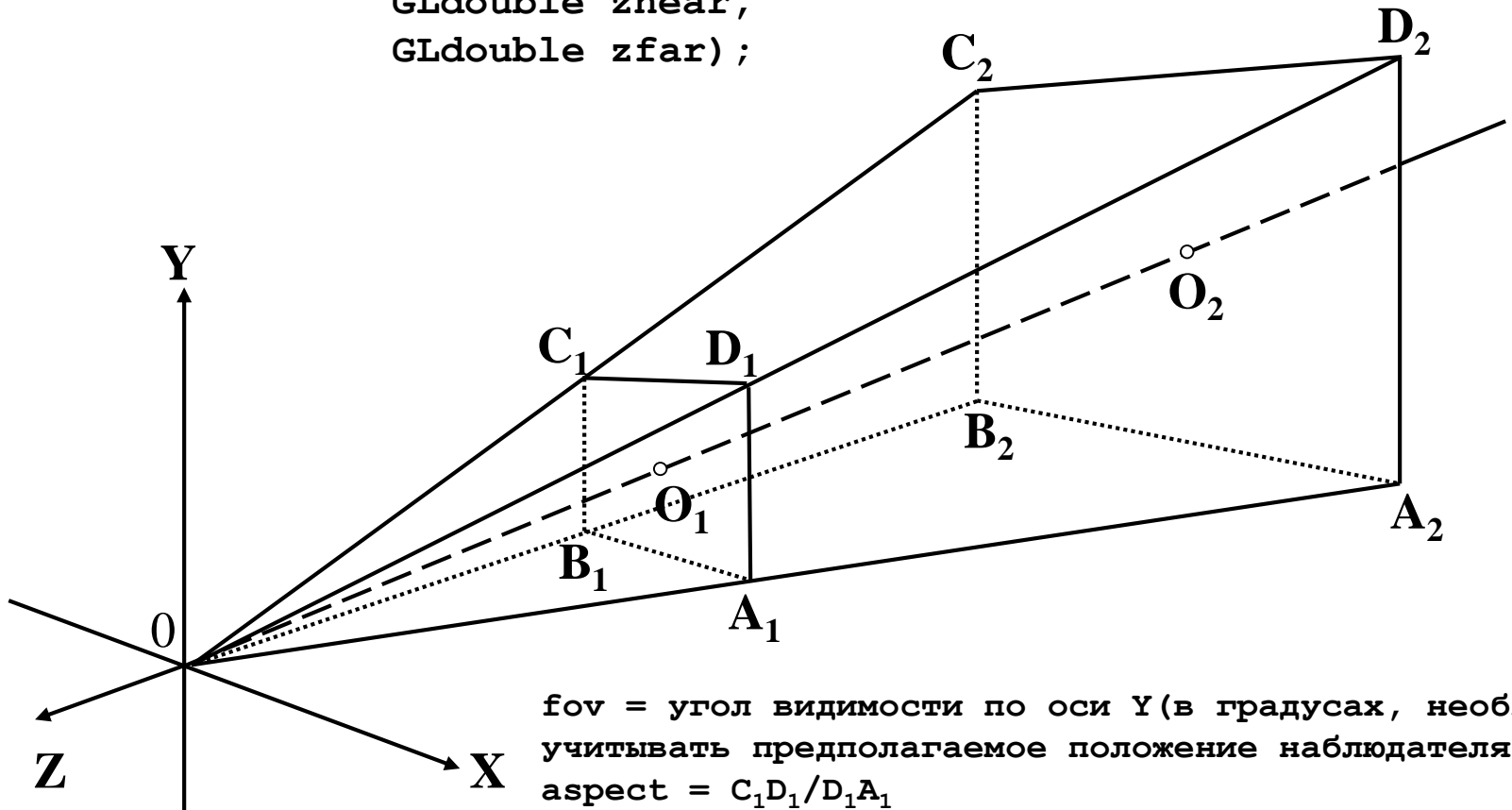
$$r = \frac{\text{far}}{\text{near}}$$

В силу операции перспективного деления, данное соотношение определяет точность операций с глубиной.

Перспективное проективное преобразование в OpenGL

```
void gluPerspective(GLdouble fov,  
                   GLdouble aspect,  
                   GLdouble znear,  
                   GLdouble zfar);
```

фактически используется левосторонняя СК



fov = угол видимости по оси Y (в градусах, необходимо учитывать предполагаемое положение наблюдателя)

aspect = C_1D_1/D_1A_1

znear = |OO₁|

zfar = |OO₂|

Преобразование рабочей станции и порт просмотра

Мировое окно – та часть сцены, которую необходимо отобразить

Порт просмотра – область, в которую проецируется мировое окно

Усеченные координаты:

$$(x_c, y_c, z_c, w_c)^T$$

Нормализованные координаты
(перспективное деление):

$$(x_n, y_n, z_n)^T = (x_c/w_c, y_c/w_c, z_c/w_c)^T$$

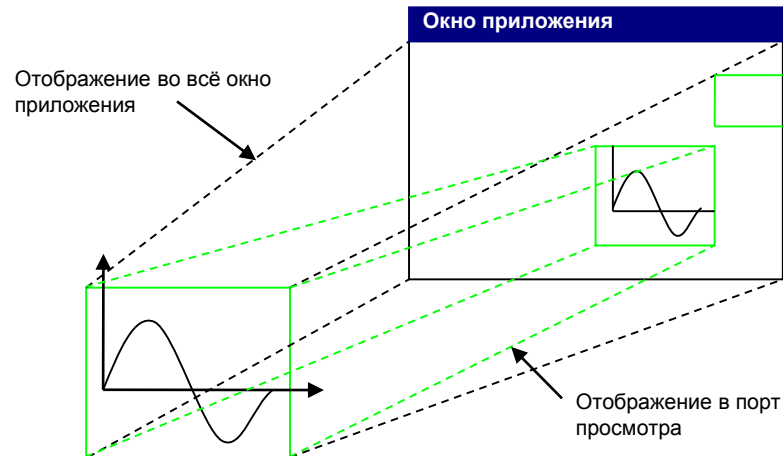
Оконные координаты (нормализованные координаты приведены к диапазону $[-1;1]$):

$$(x_w, y_w, z_w)^T = \left(\frac{p_x}{2} x_n + o_x, \frac{p_y}{2} y_n + o_y, \left[\frac{f-n}{2} \right] z_n + \frac{n+f}{2} \right)^T, \text{ где}$$

$p_x = \text{width}$, $p_y = \text{height}$

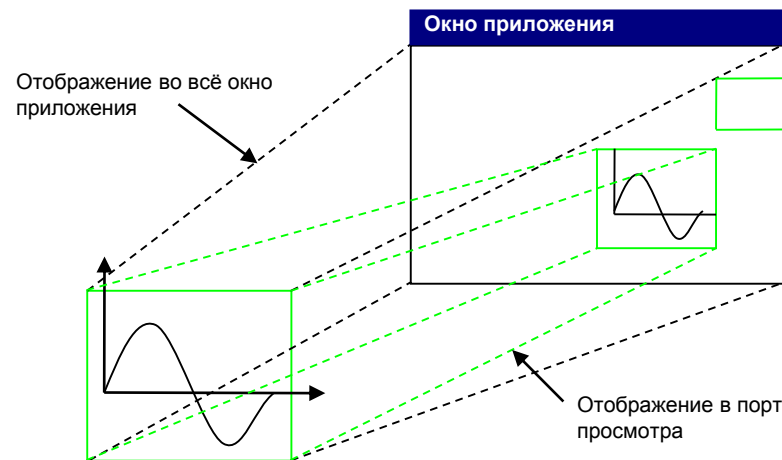
$o_x = x + \text{width}/2$, $o_y = y + \text{height}/2$ (оконные координаты центра области вывода)

n и f задают минимальную и максимальную глубину точки в окне



Преобразование порта просмотра в OpenGL

$$V = \begin{pmatrix} \frac{w}{2} & 0 & 0 & x_{left} + \frac{w}{2} \\ 0 & \frac{h}{2} & 0 & y_{bottom} + \frac{h}{2} \\ 0 & 0 & \frac{d}{2} & z_{near} + \frac{d}{2} \\ 0 & 0 & 0 & 1 \end{pmatrix}$$



Задание порта просмотра:

glViewport (GLint *x*, GLint *y*, GLint *width*, GLint *height*)

Определение значений *n* и *f* (по умолчанию равны 0 и 1 соответственно):

glDepthRange (GLclampd *n*, GLclampd *f*)

Получение образа и прообраза точки в OpenGL

```
int gluProject( GLdouble objx, GLdouble objy, GLdouble objz,  
                const GLdouble modelMatrix[16],  
                const GLdouble projMatrix[16],  
                const GLint viewport[4],  
                GLdouble *winx, GLdouble *winy, GLdouble *winz );
```

```
int gluUnProject( GLdouble winx, GLdouble winy, GLdouble winz,  
                 const GLdouble modelMatrix[16],  
                 const GLdouble projMatrix[16],  
                 const GLint viewport[4],  
                 GLdouble *objx, GLdouble *objy, GLdouble *objz );
```

The background of the book cover is a photograph of a classical stone archway. The arch is made of light-colored stone blocks and is supported by two fluted columns. Through the arch, a bare, dark tree is visible against a bright blue sky with some white clouds. The overall composition is symmetrical and evokes a sense of architectural grandeur and natural beauty.

MATHEMATICAL STRUCTURES

for Computer Graphics

STEVEN J. JANKE

WILEY

Лабораторная работа № 2 / 3

1. Определить параметризованную модель объекта сцены (в соответствии с вариантом). Для лабораторной работы №2 в качестве объекта использовать куб.
2. Определить преобразования, позволяющие получить заданный вид проекции (в соответствии с вариантом). Для демонстрации проекции добавить в сцену куб (в стандартной ориентации, не изменяемой при модельно-видовых преобразованиях основного объекта).
3. Реализовать изменение ориентации и размеров объекта (навигацию камеры) с помощью модельно-видовых преобразований (без `gluLookAt`). Управление производится интерактивно с помощью клавиатуры и/или мыши.
4. Предусмотреть возможность переключения между каркасным и твердотельным отображением модели (`glFrontFace` / `glPolygonMode`).

Вопросы к экзамену

- Линейные преобразования. Матричное представление преобразований. Однородные координаты. Аффинные преобразования и их свойства. Комбинирование и инвертирование преобразований. Преобразование нормали.
- Графический конвейер и преобразование координат. Модельные преобразования. Видовые преобразования. Виртуальная камера. Проективные преобразования.
- Двумерные преобразования и их матричное представление. Однородные координаты.
- Базовые трехмерные преобразования и их матричное представление. Однородные координаты.
- Отражение точки (вектора) от произвольной плоскости.
- Трёхмерный поворот относительно произвольной оси. Ориентация объекта.
- Классификация проекций. Виды параллельных проекций. Матричное представление ортографической проекции, аксонометрических косоугольных проекций.
- Классификация проекций. Виды параллельных проекций. Матричное представление аксонометрических прямоугольных проекций.
- Классификация проекций. Виды перспективных проекций. Матричное представление проективного преобразования.
- Нормализованные координаты и преобразование рабочей станции.
- Графический конвейер OpenGL и геометрические преобразования.